arXiv:1408.1326v3 [cond-mat.quant-gas] 17 Jul 2015

The Landau critical velocity for a particle in a Fermi superfluid

Yvan Castin[a], Igor Ferrier-Barbut[a], Christophe Salomon[a]

[a]*Laboratoire Kastler Brossel, ENS-PSL, CNRS, UPMC-Sorbonne Universités and Collège de France, Paris, France*

Abstract

We determine à la Landau the critical velocity v_c^L of a moving impurity in a Fermi superfluid, that is by restricting to the minimal excitation processes of the superfluid. v_c^L is then the minimal velocity at which these processes are energetically allowed. The Fermi superfluid actually exhibits two excitation branches : one is the fermionic pair-breaking excitation, as predicted by BCS theory ; the other one is bosonic and sets pairs into motion, as predicted by Anderson's RPA. v_c^L is the smallest of the two corresponding critical velocities $v_{c,f}^L$ and $v_{c,b}^L$. In the parameter space (superfluid interaction strength, fermion-to-impurity mass ratio), we identify two transition lines, corresponding to a discontinuity of the first-order and second-order derivatives of v_c^L. These two lines meet in a triple point and split the plane in three domains. We briefly extend this analysis to the very recently realized case at ENS, where the moving object in the Fermi superfluid is a weakly interacting Bose superfluid of impurities, rather than a single impurity. For a Bose chemical potential much smaller than the Fermi energy, the topology of the transition lines is unaffected ; a key result is that the domain $v_c^L = c$, where c is the sound velocity in the Fermi superfluid, is turned into a domain $v_c^L = c + c_B$, where c_B is the sound velocity in the Bose superfluid, with slightly shifted boundaries.

Keywords : Fermi gases ; superfluidity ; critical velocity ; Landau criterion ; ultracold atoms

1. Introduction, reminders et motivations

Degenerate gases of interacting spin 1/2 fermionic neutral atoms, taken here to be non-polarized that is with equal populations in the two internal states, have been realized in the laboratory since 2002 [1]. Below a critical temperature, they exhibit two distinct and remarkable macroscopic quantum properties. The first one is the presence of a condensate of pairs, that is the existence of a macroscopically populated mode of the two-body density operator [2], which physically implies a macroscopic coherence length for the field of pairs, only limited by the size of the system. This "long-range order" can be in principle be directly measured by interferometry [3], but only the fraction of condensed pairs f_c was measured up to now [4]. The second property, the one that is of interest here, is superfluidity. It is perceived as being more subtle, because it involves a complex of phenomena, some of them relying on metastability rather that on equilibrium properties. Let us mention here only two aspects, skipping quantum vortex lattices [5] and permanent currents.

The first aspect involves the concept of superfluid fraction f_s: for periodic boundary conditions in a cube of size L, it is the fraction of the gas which is not set into motion by a moving external potential, even after an arbitrarily long time allowing the system to reach thermal equilibrium in the moving frame. For an external potential moving along direction x at velocity v, the normal fraction $f_n = 1 - f_s$ of the gas is by definition moving at that velocity, so that

$$1 - f_s = \lim_{N\to\infty,\rho=\text{const}} \lim_{v\to 0} \lim_{\eta\to 0} \frac{\langle P_x\rangle}{Nmv} \tag{1}$$

where N is the number of atoms in the gas, m is the atom mass, $\rho = N/L^3$ is the gas density and $\langle P_x\rangle$ is the mean equilibrium total momentum of the gas along x in presence of the external potential. The triple limit must be taken in that order, so as to make the normal fraction an intrinsic quantity. On first takes the limit of a vanishing external potential amplitude η, so that f_n does not depend on the shape of the potential. Then on takes the limit of a vanishing stirring velocity, *before* one takes the thermodynamic limit, so as to always have

$$v \ll \frac{2\pi\hbar}{mL} \tag{2}$$

For v equal to the velocity quantum $2\pi\hbar/(mL)$, the periodic boundary conditions are indeed Galilean invariant, so that the gas would be at rest in the external potential frame and would have a mean momentum $\langle P_x \rangle = Nmv$ in the lab frame, leading to the constant (and unphysical) result $f_n = 1$ [6]. The superfluid fraction f_s of a spin 1/2 non-polarised Fermi gas was very recently measured in the strongly interacting regime, as a function of temperature T [7], allowing one to check that the superfluid phase transition takes place at the pair condensation temperature [4] and at the temperature where thermodynamic quantities have singularities [8]. An expected key property is that $f_s \to 1$ at zero temperature, and this is experimentally confirmed on other systems.

The second aspect of superfluidity is in principle restricted to the zero temperature case. It corresponds to the existence of a critical velocity v_c below which an object moving through the gas does not experience any friction force and cannot deposit any energy, thus having an undamped motion. This aspect was indeed observed with cold atomic Fermi gases for a moving one-dimensional optical lattice [9]. Predicting the critical velocity is often difficult, as it generally depends on the object intrinsic properties and on its coupling to the gas [10]. For an arbitrarily weak coupling to the gas density however[1], in the spirit of the definition (1), one may limit oneself, as Landau did for a Bose gas [11], to the first step in the dissipation of the object kinetic energy, that is the creation of the minimal number of elementary excitations in the gas, a single excitation in the case of [11]. Formally, this amounts to evaluating the object-gas scattering amplitude in the Born approximation, to first order in the gas-object coupling, or the emission rate of excitations by the object according to the Fermi golden rule, to second order in the coupling constant; in both cases, one gets as a factor a Dirac distribution ensuring the conservation of unperturbed energy [12]. In this work, except in section 5, the object is a particle of mass M, distinguishable from the atoms of the gas, of initial velocity v and initial kinetic energy $\frac{1}{2}Mv^2$. After emission in the gas of an excitation of wavevector $\mathbf{q}$ and energy $\epsilon_{\mathbf{q}}$, its velocity is $\mathbf{v} - \hbar\mathbf{q}/M$, due to momentum conservation, so that

$$\hbar\mathbf{q}\cdot\mathbf{v} = \frac{\hbar^2 q^2}{2M} + \epsilon_{\mathbf{q}} \tag{3}$$

due to unperturbed energy conservation. Since $|\mathbf{q}\cdot\mathbf{v}| \leq qv$, this condition cannot be satisfied by any $\mathbf{q}$ if v is below the Landau critical velocity

$$v_c^L = \inf_{\mathbf{q}} v_{\mathbf{q}} \quad \text{with} \quad v_{\mathbf{q}} = \frac{\frac{\hbar^2 q^2}{2M} + \epsilon_{\mathbf{q}}}{\hbar q} \tag{4}$$

For a particle of mass $M \to +\infty$, v_c^L was calculated in [13] with the approximate BCS and RPA theories; to this end, both excitation branches of the Fermi superfluid were taken into account, the gapped fermionic branch corresponding to a breaking of Cooper pairs of atoms, and the gapless bosonic branch with a phononic behavior close to $\mathbf{q} = \mathbf{0}$, corresponding to pairs being set into motion. One then gets [13]

$$v_c^L(\alpha = 0) = \min(\{[(\mu^2 + \Delta^2)^{1/2} - \mu]/m\}^{1/2}, c) \tag{5}$$

where c is the sound velocity in the Fermi superfluid, μ is the chemical potential, Δ is the gap, and the fermion-impurity mass ratio is denoted by

$$\alpha = \frac{m}{M} \tag{6}$$

The predicted critical velocity for $M \to +\infty$ is different from zero. This seems to contradict the reasoning below equation (2). The effect of an infinite mass object on the superfluid is the same as an external potential moving at constant velocity, so that one should have $v_c \leq 2\pi\hbar/(mL) \to 0$ in the thermodynamic limit. Landau's reasoning is however saved by the (subtle) concept of metastability, which gives a physical meaning to the predicted critical velocity v_c^L at least at short times: for $v < v_c^L$, the first step towards dissipation is blocked by an energy barrier, but the system can in principle overcome this barrier at long times thanks to processes of arbitrarily high order in the gas-object coupling, involving an excitation energy $\epsilon_{\mathbf{q}}$ very different from the one of the elementary excitations of equation (4). For example, the improbable process of order N setting the whole gas into motion at velocity $2\pi\hbar/(mL)$ along x, by a momentum boost of $2\pi\hbar/L$ applied to each atom along that direction, corresponds to $q = 2\pi N/L$ and

1. This can be an effective coupling: for a pointlike object, it is proportional to its s-wave scattering amplitude with the atoms of the gas.

$\epsilon_{\mathbf{q}} = N(2\pi\hbar)^2/(2mL^2)$, that is to a critical velocity $v_{\mathbf{q}} = 2\pi\hbar/(2mL)$ that indeed vanishes in the thermodynamic limit [2] provided that M remains $\gg Nm$. [3]

The goal of the present work is to extend the calculations of reference [13] to the case of a finite mass M. There is a very strong experimental motivation: the Landau prediction for the critical velocity of an atomic impurity in a Bose-Einstein condensate was confirmed at MIT [16], and may be measured soon in a Fermi superfluid thanks to the Bose-Fermi mixture of superfluids recently obtained at ENS [17]. The calculation of v_c^L for a particle of mass M is performed here in three steps: one determines the critical velocity $v_{c,f}^L$ due to the BCS fermionic excitation branch in section 2, then the one $v_{c,b}^L$ due to the RPA bosonic branch in section 3, then one takes the smallest of the two velocities to get v_c^L in section 4. In reference [17] the object moving inside the Fermi superfluid is a Bose-Einstein condensate rather than a single impurity, so that we modify Landau's formula (4) in section 5 to take into account the interaction among impurities. We conclude in section 6.

2. Critical velocity on the fermionic branch

One might naively believe that the critical velocity $v_{c,f}^L$ associated with the fermionic superfluid excitation branch is derived from the general expression (4) by taking for $\mathbf{k} \mapsto \epsilon_{\mathbf{k}}$ the corresponding dispersion relation $\mathbf{k} \mapsto \epsilon_{f,\mathbf{k}}$ of the fermionic quasiparticles. However, this would be wrong because it would ignore the constraints imposed by the conservation of the total number of fermions. In reality, the impurity of mass M, interacting with the superfluid initially in the vacuum of quasiparticles, can produce only an *even* number of fermionic excitations. This is particularly clear in the context of BCS theory: in second quantized form, the two-body interaction Hamiltonian between the impurity and the fermions involves the fermionic fields $\hat{\psi}_\sigma(\mathbf{r})$, $\sigma = \pm 1/2$ only through quadratic terms of the form $\hat{\psi}_\sigma^\dagger \hat{\psi}_{\sigma'}$; but each $\hat{\psi}_\sigma(\mathbf{r})$ is a linear combination of quasi-particle annihilation $\hat{b}_{\mathbf{k}\sigma}$ and creation $\hat{b}_{\mathbf{k}-\sigma}^\dagger$ operators that change the parity of their number. In Landau's reasoning, it must then be assumed that the impurity creates at least *two* fermionic quasiparticles, of wavevectors $\mathbf{k}_1$ and $\mathbf{k}_2$. The impurity then experiences a momentum change of $-\hbar(\mathbf{k}_1 + \mathbf{k}_2)$ and acquires a recoil energy of $\hbar^2(\mathbf{k}_1 + \mathbf{k}_2)^2/(2M)$, which leads to the critical velocity [4]

$$v_{c,f}^L = \inf_{\mathbf{k}_1,\mathbf{k}_2} \frac{\frac{\hbar^2(\mathbf{k}_1+\mathbf{k}_2)^2}{2M} + \epsilon_{f,\mathbf{k}_1} + \epsilon_{f,\mathbf{k}_2}}{\hbar|\mathbf{k}_1 + \mathbf{k}_2|} \tag{7}$$

In practice we shall first minimise over $\mathbf{k}_1$ for a fixed $\mathbf{q} = \mathbf{k}_1 + \mathbf{k}_2$, and then minimise over $\mathbf{q}$. We are thus led to the more operational writing, also formally equivalent to the one of equation (4):

$$v_{c,f}^L = \inf_{\mathbf{q}} v_{f,\mathbf{q}} \ \text{ with } \ v_{f,\mathbf{q}} = \frac{\frac{\hbar^2 q^2}{2M} + \epsilon_{f,\mathbf{q}}^{\rm eff}}{\hbar q}, \tag{8}$$

where $\epsilon_{f,\mathbf{q}}^{\rm eff}$ is the lower border of the two fermionic quasi-particle continuum at fixed total wavevector $\mathbf{q}$:

$$\epsilon_{f,\mathbf{q}}^{\rm eff} \equiv \inf_{\mathbf{k}_1} (\epsilon_{f,\mathbf{k}_1} + \epsilon_{f,\mathbf{k}_2=\mathbf{q}-\mathbf{k}_1}) \tag{9}$$

---

2. One more commonly invokes the vortex ring as the macroscopic excitation created by the moving object in the gas. As a function of its radius R, it has an energy scaling as $R \ln R$ and a momentum scaling as R^2 [14]. When R reaches the gas diameter, one is led to the same N and L-scaling laws for q, $\epsilon_{\mathbf{q}}$ et $v_{\mathbf{q}}$, up to a factor $\ln L$ in $\epsilon_{\mathbf{q}}$. If the object is a pointlike particle weakly coupled to the superfluid, the emission of a vortex ring remains anyway improbable at velocities below v_c^L [12].

3. For a finite mass M and a sufficiently weak repulsive coupling between the impurity and the superfluid, it was recently shown that there exists a genuine critical velocity v_c that does not vanish in the thermodynamic limit, that does not rely on metastability considerations and holds for an arbitrarily long interaction time between the impurity and the superfluid [15]. When the coupling tends to zero, v_c is obtained by including in (4) all the possible superfluid excitations, and not only the elementary excitations as it will be done here. For the vortex ring of the previous footnote and after minimisation of $v_{\mathbf{q}}$ over the ring radius, one finds that v_c vanishes as $(\ln M)^{2/3}/M^{1/3}$ when $M \to +\infty$.

4. In the case of a moving object of infinite mass, one finds however in the literature the usual formula $v_{c,f}^{\rm hab} = \inf_q \epsilon_f(q)/(\hbar q)$ [13], with $\epsilon_f(q) = \epsilon_{f,\mathbf{q}}$, which seems to correspond to the naive error mentioned above. In reality, our equation (7) correctly reproduces $v_{c,f}^{\rm hab}$ when $M \to +\infty$. First, $\lim_{M\to+\infty} v_{c,f}^L \leq v_{c,f}^{\rm hab}$ since equation (7) contains $\mathbf{k}_1 = \mathbf{k}_2$ as particular configurations. Second, minimisation over the directions of $\mathbf{k}_1$ and $\mathbf{k}_2$ for fixed moduli is straightforwardly achieved when $M = +\infty$ for parallel wavevectors, so that $\lim_{M\to+\infty} v_{c,f}^L = \inf_{k_1,k_2} \frac{\epsilon_f(k_1)+\epsilon_f(k_2)}{\hbar(k_1+k_2)}$; this last expression is $\geq v_{c,f}^{\rm hab}$ because $\epsilon_f(k_i) \geq \hbar k_i v_{c,f}^{\rm hab}$ for all k_i.

The dispersion relation $\mathbf{k} \mapsto \epsilon_{f,\mathbf{k}}$ is a smooth function of the wavevector and diverges at infinity, so that the infimum in equation (9) is reached in a stationary (of zero gradient with respect $\mathbf{k}_1$) point of the function to minimise. Due to the isotropy of the dispersion relation,

$$\epsilon_{f,\mathbf{k}} = \epsilon_f(k), \tag{10}$$

the gradient is zero if and only if

$$\epsilon'_f(k_1)\hat{\mathbf{k}}_1 = \epsilon'_f(k_2)\hat{\mathbf{k}}_2 \tag{11}$$

where $\hat{\mathbf{k}}_i$ is the direction $\mathbf{k}_i/k_i$ of the vector $\mathbf{k}_i$, $\epsilon'_f(k)$ is the derivative of the function $\epsilon_f(k)$, and where one still has $\mathbf{k}_2 = \mathbf{q} - \mathbf{k}_1$. In general this thus leads to four possible branches of stationarity:

$$\text{(i)} : \mathbf{k}_1 = \mathbf{k}_2 = \mathbf{q}/2, \quad \text{(ii)} : \hat{\mathbf{k}}_1 = \hat{\mathbf{k}}_2, k_1 \neq k_2, \quad \text{(iii)} : \hat{\mathbf{k}}_1 = -\hat{\mathbf{k}}_2, \quad \text{(iv)} : \epsilon'_f(k_1) = \epsilon'_f(k_2) = 0 \tag{12}$$

In the two intermediate cases, the derivatives $\epsilon'_f(k_1)$ and $\epsilon'_f(k_2)$ are, of course, respectively equal and opposite.

Let us particularize this discussion to the case of BCS theory, with the dispersion relation

$$\epsilon_{f,\mathbf{k}} = \epsilon_f(k) = \left[\left(\frac{\hbar^2 k^2}{2m} - \mu\right)^2 + \Delta^2\right]^{1/2} \tag{13}$$

For a chemical potential $\mu > 0$, it exhibits a Mexican hat shape, corresponding to a clear fermionic character, with a gap Δ. In this case, $\epsilon_f(k)$ is a concave decreasing function up to the inflexion point k_{inflex}, then it is a convex decreasing function up to its minimum location k_{min},

$$k_{\text{min}} = \frac{(2m\mu)^{1/2}}{\hbar} \tag{14}$$

and beyond that point it is a convex increasing function. The four branches of stationarity may then be realised. Contrarily to branch (i), the other branches only exist for low values of $q = |\mathbf{k}_1 + \mathbf{k}_2|$. One can fully explore branch (ii) with $k_1 \in [0, k_{\text{inflex}}]$ and $k_2 \in [k_{\text{inflex}}, k_{\text{min}}]$, and one finds that $q = k_1 + k_2$ spans $[k_{\text{min}}, 2k_{\text{inflex}}]$; similarly, for branch (iii), one can take $0 \leq k_1 \leq k_{\text{min}} \leq k_2$, and one finds that $q = k_2 - k_1$ spans $[0, k_{\text{min}}]$. [5] Finally, branch (iv) simply corresponds to $k_1 = k_2 = k_{\text{min}}$, and to q varying from 0 to $2k_{\text{min}}$. On its existence domain, branch (iv) is clearly the minimal energy branch, since the two quasi-particle wavevectors $\mathbf{k}_1$ and $\mathbf{k}_2$ are at the bottom of the Mexican hat. Beyond this existence domain, the branches (ii) and (iii) no longer exist so that the minimal energy is reached on branch (i). This is illustrated in figure 1. For $\mu > 0$, we thus keep

$$\epsilon_f^{\text{eff}}(q) \underset{\text{branch (iv)}}{\overset{q\leq 2k_{\text{min}}}{=}} 2\Delta, \qquad \epsilon_f^{\text{eff}}(q) \underset{\text{branch (i)}}{\overset{q\geq 2k_{\text{min}}}{=}} 2\epsilon_f(q/2) \tag{15}$$

in agreement with reference [13]. For $\mu < 0$, the Cooper pairs of atoms tend to acquire a bosonic character, and the dispersion relation (13) is convex, with a forbidden energy interval of width $(\Delta^2 + \mu^2)^{1/2}$. $\epsilon_f(k)$ is then a monotonically increasing function for $k > 0$, and only branch (i) is realized.

To obtain the contribution of the BCS fermionic branch to Landau critical velocity, it remains to minimise the function $v_{f,\mathbf{q}} = v_f(q)$ in equation (8). This differentiable function diverges at $q = 0$ and $q = \infty$, so that it reaches its minimum with a vanishing derivative at some point q_0, $v'_f(q_0) = 0$. One switches to dimensionless variables by taking the wavenumbers q and q_0 in units of $(2m|\mu|)^{1/2}/\hbar$ (which is k_{min} for $\mu > 0$), the energies ϵ_f^{eff} and Δ in units of $|\mu|$ and the velocities $v_f(q)$ and $v_{c,f}^L$ in units of $[|\mu|/(2m)]^{1/2}$, which leads to $\check{v}_f(\check{q}) = \alpha\check{q} + \frac{\check{\epsilon}_f^{\text{eff}}(\check{q})}{\check{q}}$ and to the elegant implicit equation

$$\alpha = F_f(\check{q}_0) \text{ with } F_f(\check{q}) = \frac{\mathrm{d}}{\mathrm{d}\check{q}}\left(-\frac{\check{\epsilon}_f^{\text{eff}}(\check{q})}{\check{q}}\right) \text{ and } \check{v}_{c,f}^L = \alpha\check{q}_0 + \frac{\check{\epsilon}_f^{\text{eff}}(\check{q}_0)}{\check{q}_0} \tag{16}$$

5. This is due to the fact that $k_1 + k_2$ for (ii) and $k_1 - k_2$ for (iii) are increasing functions of k_1. Branches (ii) and (iii) smoothly (C^∞) reconnect in $q = k_{\text{min}}$; to show it, one can introduce the algebraic quantity $\bar{k}_1 \in [-k_{\text{min}}, k_{\text{inflex}}]$ and the corresponding extension $\phi(\bar{k}_1) = \epsilon_{f,\bar{k}_1\hat{\mathbf{k}}_1}$ of $\epsilon_f(k_1)$ to negative arguments. The unique solution $k_2 \geq k_{\text{inflex}}$ of $\phi'(k_2) = \phi'(\bar{k}_1)$ then leads to a smooth parameterisation $q = \bar{k}_1 + k_2(\bar{k}_1)$ of (ii) plus (iii) as a whole. On the contrary, (i) and (ii), as well as (iv) et (i), have only a C^1 reconnection: at $q = 2k_{\text{inflex}}$, the second order derivative is zero for (i) and is equal to $-3[\epsilon_f^{(3)}(k_{\text{inflex}})]^2/[2\epsilon_f^{(4)}(k_{\text{inflex}})] < 0$ for (ii); at $q = 2k_{\text{min}}$, the second order derivative is zero for (iv) and is equal to $\epsilon''_f(k_{\text{min}})/2 > 0$ for (i).

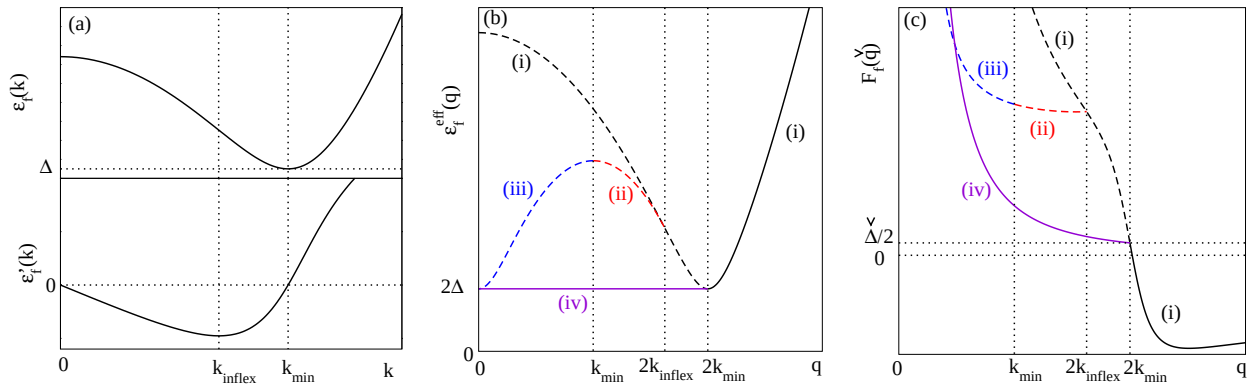

Figure 1: For the fermionic excitation branch of BCS theory at positive chemical potential $\mu > 0$, (a) dispersion relation $\epsilon_f(k)$ and its first order derivative $\epsilon'_f(k)$, used in the discussion of the stationarity branches (12); (b) the stationarity branches as functions of q: solid line for the ground branch, dashed line for the other branches; (c) function $F_f(\check{q})$ used to minimise $v_f(q)$ through a graphical discussion, see equation (16). The quantities on the vertical axis of (c) are adimensioned as explained in the text.

The check symbol is used to indicate the resulting dimensionless variables, and the mass ratio α is given by equation (6). A graphical discussion of equation (16) is readily done. In the non trivial case $\mu > 0$, the various branches of the function F_f, that correspond to the branches (12) of the function $\epsilon_f^{\rm eff}$, are shown in figure 1c; only the solid lines, that correspond to minimal energy branches, are relevant. For $\alpha > \check{\Delta}/2$, the critical velocity is realised on branch (iv), with $\check{q}_0 = (2\check{\Delta}/\alpha)^{1/2}$ and

$$\check{v}^L_{c,f} \underset{\text{branch (iv)}}{\overset{\alpha>\check{\Delta}/2}{=}} 2(2\check{\Delta}\alpha)^{1/2} \tag{17}$$

For $\alpha < \check{\Delta}/2$, it is realised on branch (i), and corresponds to the largest real root of the polynomial equation of degree four in $\check{v}^2$, that can in principle be expressed in radicals [6]:

$$\check{v}^8 + 8(1-\alpha^2)\check{v}^6 + \check{v}^4[\check{\Delta}^2(16\alpha^4 - 80\alpha^2 - 8) + 16\alpha^4 - 128\alpha^2 + 16] + \check{v}^2[32\check{\Delta}^2(4\alpha^2-1)(5\alpha^2+1) + 128\alpha^2(5\alpha^2-1)] - 16(4\alpha^2-1)[4\alpha^2(1+\check{\Delta}^2) - \check{\Delta}^2]^2 = 0 \tag{18}$$

In the limit $\alpha \to 0$ of an infinite mass impurity, one recovers the first term of the right-hand side of equation (5), that indeed originates from the fermionic excitation branch [13]. It remains to determine the nature of the transition on the critical velocity when it passes from branch (iv) to branch (i), due to a continuous variation of the mass ratio α or of the dimensionless gap $\check{\Delta}$ (resulting from a variation of the Fermi gas interaction strength). As it is apparent on the graphical discussion, $\check{q}_0$ is continuous at the transition, so is $\check{v}^L_{c,f}$. Taking the derivative of the third equation of (16) with respect to α at fixed $\check{\Delta}$, and using the first equation of (16), one finds that the first order derivative of $\check{v}^L_{c,f}$ is also continuous:

$$\frac{\mathrm{d}}{\mathrm{d}\alpha}\check{v}^L_{c,f} = \check{q}_0 \tag{19}$$

The second order derivative of $\check{v}^L_{c,f}$ is discontinuous: taking the derivative of (19) and of the first equation of (16) with respect to α, and also taking the derivative of the function F_f on the branches (iv) and (i), one obtains

$$\left[\frac{\mathrm{d}^2}{\mathrm{d}\alpha^2}\check{v}^L_{c,f}\left(\alpha = \frac{\check{\Delta}^+}{2}\right)\right]^{-1} - \left[\frac{\mathrm{d}^2}{\mathrm{d}\alpha^2}\check{v}^L_{c,f}\left(\alpha = \frac{\check{\Delta}^-}{2}\right)\right]^{-1} = \frac{1}{4}\check{\epsilon}''_f(\check{k}=1) = \frac{1}{\check{\Delta}} \tag{20}$$

so that the critical velocity $\check{v}^L_{c,f}$ exhibits a *second* order transition on the line $\alpha = \check{\Delta}/2$, see figure 3a. In the more straightforward case of a negative chemical potential, $v^L_{c,f}$ is always realised on branch (i) and cannot exhibit any transition.

6. One squares cleverly collected terms in the first and the last equations of (16), so as to get two polynomial equations for $\check{q}_0$. $\check{v}$ must be a root of their resultant, and equation (18) is a divisor of that resultant.

$1/(k_F a)$	Δ/μ	$\mathcal{D}$	form of $\epsilon_b(q)$
> 0.161	> 1.729 or < 0	$[0, +\infty[$	convex
$\in]0; 0.161[$	$\in]1.162; 1.729[$	$[0, q_{\rm sup}] \cup [q_{\rm inf}, +\infty[$	convex if $\Delta/\mu > 1.71$
< 0	$\in]0; 1.162[$	$[0, q_{\rm sup}]$	concave if $\Delta/\mu < 0.88$

Table 1: Existence domain $\mathcal{D}$ of the superfluid bosonic excitation branch, more precisely ensemble of its accessible wavenumbers q, according to the RPA of reference [13], and (from our own study) convexity of the dispersion relation $q \mapsto \epsilon_b(q)$. The loss of convexity (of concavity) is due to the emergence of a concave (convex) part at large (low) wavenumbers q. There is always convexity on the component $[q_{\rm inf}, +\infty[$ when it exists. At $q = q_{\rm sup}$ and $q = q_{\rm inf}$, the bosonic branch meets the two fermionic excitation continuum at the considered total wavenumber, that is $\epsilon_b(q) = \epsilon_f^{\rm eff}(q)$. An important result of reference [13] is that one always has $q_{\rm sup} > 2k_{\rm min}$ defined in equation (14). The parameter $1/(k_F a)$ is more usually used than Δ/μ to measure the interaction strength, see text, and it is deduced here from the BCS equation of state [13]. $1/(k_F a) = 0$ is the unitary limit, reached for $\Delta/\mu = 1.162\ldots$, and $\mu < 0$ if and only if $1/(k_F a) > 0.553\ldots$. Note the notation paradox $q_{\rm sup} < q_{\rm inf}$.

3. Critical velocity on the bosonic branch

Conservation of the number of fermions of course does not prevent the impurity, when it moves in the superfluid, from creating a single quantum on the superfluid bosonic excitation branch: this indeed corresponds to excitation of a collective motion of the Cooper pairs of atoms, similar to a sound wave. The critical velocity attached to the bosonic branch is then simply given as in equation (4) by

$$v_{c,b}^L = \inf_{\mathbf{q}\in\mathcal{D}} v_{b,\mathbf{q}} \quad \text{with} \quad v_{b,\mathbf{q}} = \frac{\frac{\hbar^2 q^2}{2M} + \epsilon_{b,\mathbf{q}}}{\hbar q} \tag{21}$$

The bosonic quasi-particle dispersion relation $\mathbf{q} \mapsto \epsilon_{b,\mathbf{q}} = \epsilon_b(q)$ is however more difficult to describe than the one of the fermionic quasi-particles. Its existence domain $\mathcal{D}$ in the wavevector space, over which one must minimise $v_{b,\mathbf{q}} = v_b(q)$ in equation (21), is in itself not so easy to determine. As shown in reference [13], it is not always a compact or even connected set. What is very generally known, thanks to superfluid hydrodynamics, is that the branch does reach the low wavenumbers $q \to 0$, in a way that is linear with q:

$$\epsilon_b(q) \underset{q\to 0}{\sim} \hbar c q, \tag{22}$$

where the coefficient c is simply the sound velocity in the Fermi superfluid, that can be deduced from the gas equation of state through the well-known expression $mc^2 = \rho \frac{{\rm d}\mu}{{\rm d}\rho}$. It is also known that $\epsilon_b(q)$ must be less than the border $\epsilon_f^{\rm eff}(q)$ of the two fermionic excitation continuum at fixed total wavevector $\mathbf{q}$. Otherwise the collective motion of the pairs would damp because its energy, defined as a pole of the dynamic structure factor, would become complex [18].

One can obtain $\epsilon_b(q)$ numerically at a level of approximation consistent with the BCS theory used in section 2 thanks to the RPA [19], that was implemented in great details in reference [13] not only in the weakly interacting regime [18] but even for arbitrarily strong interactions in the superfluid [7] [8]. The results on the existence domain are summarized in table 1; the interactions are parameterized both by Δ/μ and by the more usual quantity $1/(k_F a)$, where a is the s-wave scattering length of opposite spin fermions and $k_F = (3\pi^2\rho)^{1/3}$ is the Fermi wavenumber of the spin 1/2 unpolarised ideal Fermi gas with the same density ρ as the superfluid. It remains to minimise the function $v_b(q)$ over the existence domain $\mathcal{D}$, according to the various forms that it takes.

When the bosonic branch exists at all wavenumber, for example for $\mu < 0$, it turns out that the dispersion relation $q \mapsto \epsilon_b(q)$ is convex and always above its tangent at the origin. Then $\epsilon_b(q) \geq \hbar c q$ for all q, the absolute minimum of $v_b(q)$ is reached in $q = 0$ and $v_{c,b}^L = c$. We go on in the discussion assuming that $\mu > 0$.

7. In practice, we use dichotomy to solve for $\omega = \epsilon_b(q)/\hbar$ the equation $f(\omega, q) = 1$, where, at fixed q, $f = I_{11}I_{22}/(\omega^2 I_{12}^2)$ is a decreasing function of ω that tends to $+\infty$ at $\omega = 0$. The double integrals I_{12}, I_{11} et I_{22} are given by equations (15), (16) and (17) of reference [13]. For all $q \leq 2k_{\rm min}$, $f(\omega, q) \to -\infty$ logarithmically when $\omega \to \epsilon_f^{\rm eff}(q)^-/\hbar = 2\Delta^-/\hbar$, because $I_{11} \to +\infty$ [13] and $I_{22} < 0$ $\forall \omega \in [0, 2\Delta/\hbar]$, which ensures the existence of a root $\omega \in [0, 2\Delta/\hbar[$. As a consequence $\mathcal{D}$ contains at least all the wavevectors of modulus $q \leq 2k_{\rm min}$ [13].

8. Similarly to BCS theory, the RPA is only qualitatively correct in the strongly interacting regime, and deviations from the RPA spectrum can be measured on the collective excitation modes [20].

Minimisation of $v_b(q)$ on the second connected component of $\mathcal{D}$, that is $q \in [q_{\rm inf}, +\infty[$, when it exists, is also rather simple. One finds that the energy $\epsilon_b(q)$ is extremely close to its "ceiling" $\epsilon_f^{\rm eff}(q)$; since $q_{\rm inf}$ is always larger than the root of $F_f(\check{q})$ [see figure 1c], the three functions $q \mapsto \epsilon_f^{\rm eff}(q)/q$, $q \mapsto \epsilon_b(q)/q$ and $q \mapsto v_b(q)$ are increasing functions for $q \geq q_{\rm inf}$. One then numerically checks that the minimum $v_b(q_{\rm inf})$ of $v_b(q)$ over that second connected component is always larger than the sound velocity, and is thus irrelevant.

It remains to minimise $v_b(q)$ over the existence interval $[0, q_{\rm sup}]$, and this can in general lead to three different cases: the absolute minimum is (a) at $q = 0$, (b) at $q = q_{\rm sup}$ or (c) at a point q_0 inside the interval. First one studies the local minima of $v_b(q)$ according to these three cases, then one sorts them.

The local minima : We introduce the same dimensionless variables, auxiliary function $F(q)$ and graphical discussion as for the fermionic branch:

$$\check{v}_b(\check{q}) = \alpha\check{q} + \frac{\check{\epsilon}_b(\check{q})}{\check{q}} \text{ and } F_b(\check{q}) = \frac{\mathrm{d}}{\mathrm{d}\check{q}}\left(-\frac{\check{\epsilon}_b(\check{q})}{\check{q}}\right), \text{ so that } \frac{\mathrm{d}}{\mathrm{d}\check{q}}\check{v}_b(\check{q}) = \alpha - F_b(\check{q}) \tag{23}$$

A first remark is that $F_b(0) = 0$ and $\frac{\mathrm{d}}{\mathrm{d}\check{q}}\check{v}_b(0) = \alpha > 0$, so that $v_b(q)$ always has a minimum at $q = 0$, because the first correction to the linear term in equation (22) is cubic (the Taylor expansion of $[\epsilon_b(q)]^2$ according to the RPA only contains even powers of q). A second remark is that the function $v_b(q)$ has a minimum at $q = q_{\rm sup}$ if $\frac{\mathrm{d}}{\mathrm{d}\check{q}}\check{v}_b(\check{q}_{\rm sup}) < 0$, that is if $\alpha < F_b(\check{q}_{\rm sup})$. A last remark is that $v_b(q)$ has a local minimum at $q_0 \in]0, q_{\rm sup}[$ if its first order derivative vanishes at q_0 and if its second order derivative is positive. Graphically this means that $\check{q} \mapsto F_b(\check{q})$ crosses the horizontal line of ordinate α inside the interval with a negative derivative, that is from *top to bottom*. This may be realised for some value of α if and only if the continuous function $F_b(\check{q})$ has a strictly positive maximum in $]0, q_{\rm sup}[$, as in figure 2.

The global minimum $v_{c,b}^L$: The values $v_b(0) = c$ and $v_b(q_{\rm sup})$ can be directly compared, after a numerical calculation of c and $q_{\rm sup}$, since $\epsilon_b(q)$ and the analytically known $\epsilon_f^{\rm eff}(q)$ coincide at $q_{\rm sup}$. When it exists, the local minimum of $v_b(q)$ at $q_0 \in]0, q_{\rm sup}[$ is actually smaller than $v_b(q_{\rm sup})$, since $F_b(\check{q})$ remains below the horizontal line of ordinate α over the interval $[\check{q}_0, \check{q}_{\rm sup}]$ so that $v_b(q)$ is an increasing function over that interval. It can also easily be compared to the sound velocity: after integration of the third equation of (23), one finds that

$$\check{v}_b(\check{q}_0) - \check{c} = \int_0^{\check{q}_0} \mathrm{d}\check{q}\,[\alpha - F_b(\check{q})] = A_+ - A_- \tag{24}$$

where A_+ and A_- are the (positive) areas of the zones delimited by the graph of $F_b(\check{q})$ and by the horizontal straight line of ordinate α, respectively below and above that straight line, for $\check{q}$ spanning $[0, \check{q}_0]$. They are the hatched zones in figure 2b, plotted in the particular case $A_+ = A_-$, that is for the value $q_0^{\rm min}$ of q_0 below which $v_b(q_0)$ ceases to be strictly less than c.

The result of the global minimisation is shown in figure 3b. The boundary between the zones $v_{c,b}^L = v_b(q_{\rm sup})$ and $v_{c,b}^L = v_b(q_0)$ corresponds to the limiting case $q_0 \to q_{\rm sup}$, that is to the equation $\alpha = F_b(\check{q}_{\rm sup})$; it leads, as shown by generalisation of the property (19) of $v_{c,f}^L$ [see (29) and footnote 9], to a second order transition for $v_{c,b}^L$, that is to a discontinuity of its second order derivative in the direction orthogonal to the boundary. The other boundaries, where $c = v_b(q_0)$ or $c = v_b(q_{\rm sup})$, lead to first order transitions for $v_{c,b}^L$, that is to a discontinuity of its first order derivative, since the location of the minimum of $v_b(q)$ jumps from 0 to $q_0^{\rm min} > 0$ or $q_{\rm sup}$. Note the existence of a triple point at the confluence of the three zones.

4. Synthesis: global critical velocity of the particle

The global Landau critical velocity for a moving particle in the superfluid is given by the smallest of the two velocities $v_{c,f}^L$ and $v_{c,b}^L$ of the previous sections. For $\mu < 0$ or $\Delta/\mu > 1.729$, one always has $v_{c,b}^L = c < v_{c,f}^L$, so that v_c^L is identically equal to the sound velocity and has a bosonic origin. As shown in table 1 indeed, the bosonic excitation branch then exists for all q with an energy $\epsilon_b(q)$ everywhere $< \epsilon_f^{\rm eff}(q)$, so that $v_b(q) < v_f(q)$ and $v_{c,b}^L < v_{c,f}^L$ in equations (8) and (21); furthermore, the convexity of $q \mapsto \epsilon_b(q)$ implies $v_{c,b}^L = c$, see section 3. For $\mu > 0$ and $\Delta/\mu < 1.729$, the diagram in the plane $(\Delta/\mu, \alpha = m/M)$ in figure 4a shows that the critical velocity has a fermionic origin ($v_{c,f}^L < v_{c,b}^L$) in a sort of triangle with one curved side and with a basis lying on the $\alpha = 0$ axis where the impurity has an infinite mass;

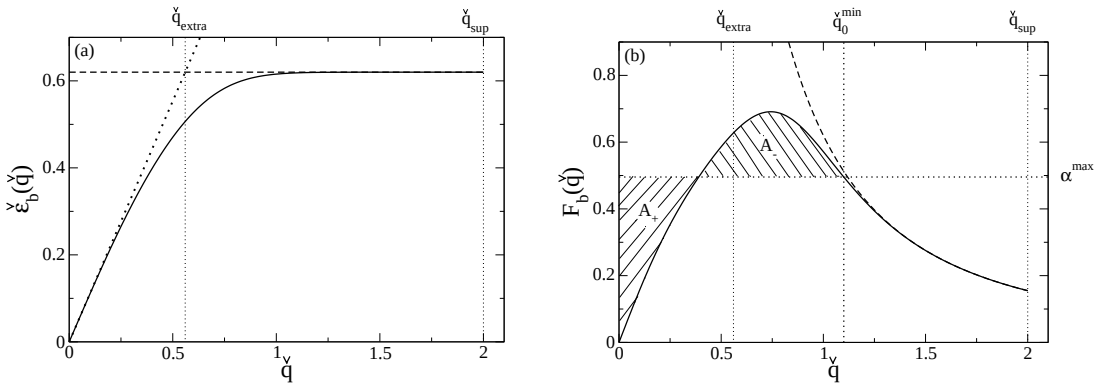

Figure 2: For the value $\Delta/\mu = 0.31$ taken as an example: (a) dimensionless dispersion relation $\check{\epsilon}_b(\check{q})$ of the bosonic branch (solid line), that has a phononic start (dotted line) and is bounded by the border of the two fermionic excitation continuum $\check{\epsilon}_f^{\rm eff}(\check{q})$ at the considered total wavevector (dashed line), and (b) auxiliary function $F_b(\check{q})$ for the graphical discussion of the minimisation of $v_b(q)$. Here the bosonic branch only exists over the compact interval $[0, q_{\rm sup}]$, and $v_b(q)$ has a local minimum at q_0 in the interior of that interval if and only if the mass ratio α is in between $F_b(\check{q}_{\rm sup})$ and $\sup_{\check{q}} F_b(\check{q})$. The dashed line in (b) corresponds to the approximation $F_b(\check{q}) \simeq F_f^{\rm (iv)}(\check{q}) = 2\check{\Delta}/\check{q}^2$; this is a legitimate approximation close enough to $q = q_{\rm sup}$ and for a small enough value of $\check{\Delta}$. This is indeed the case here, even for the minimal value $\check{q}_0^{\rm min}$ of $\check{q}_0$ (that is for the maximal value $\alpha^{\rm max}$ of α) that can be accessed in the zone B_{q_0} of figure 3b for a fixed $\check{\Delta}$, such that $A_+ = A_-$ in equation (24).

its maximal extension on that axis agrees with the crossing point $\Delta/\mu \simeq 1.38$ of the two terms in the right-hand side of (5). Everywhere else, the critical velocity has a bosonic origin. One can explain in simple terms why this property necessarily holds to the right of this crossing point: $v_f(q)$ and thus $v_{c,f}^L$ in equation (8) are increasing functions of $1/M$, and the corresponding dimensionless quantities are increasing functions of α; according to (5), $v_{c,f}^L(\alpha = 0) > c$ as soon as $\Delta/\mu > 1.38$, so that one also has $v_{c,f}^L(\alpha) > c$ for all $\alpha > 0$.

It remains to be seen to which extent the transition line(s) predicted for $v_{c,f}^L$ and $v_{c,b}^L$ [see figure 3] subsist on the global critical velocity v_c^L, or on the contrary are masked because the critical velocity from the competing excitation branch is smaller. We have plotted the transition line for $v_{c,f}^L$ [among the stationarity branches (i) and (iv)], $\alpha = \check{\Delta}/2$, as a dashed green line in figure 4a. The portion corresponding to $\check{\Delta} > 0.55$ is entirely masked by the bosonic critical velocity and is omitted; remarkably, and may be unexpectedly, the portion corresponding to $\check{\Delta} < 0.55$ cannot be distinguished, at the scale of the figure, from the boundary between the bosonic domain and the fermionic domain! Similarly, we have plotted the transition lines of $v_{c,b}^L$ [depending on the location of the minimum of $v_b(q)$ at $q = 0$, $q = q_{\rm sup}$ or in between] as a black solid (dashed) line for a first (second) order transition. Two additional remarkable facts arise. First, the black dashed line is in practice indistinguishable from the green dashed line, and therefore from the boundary between the bosonic and fermionic domains. Second, the portion of solid line with $\check{\Delta} > 0.55$ seems to coincide quite well with another piece of that boundary. Last, the portion of solid line with abscissas $\check{\Delta} < 0.55$ is immersed in the bosonic domain, and splits it in two subdomains B_1 and B_2 separated by a first order transition for v_c^L. We shall now give some simple facts allowing one to understand part of those observations.

Some zones of predictable origin: The domain $B_{q_{\rm sup}}$ such that $v_{c,b}^L = v_b(q_{\rm sup})$ necessary corresponds to $v_{c,b}^L \geq v_{c,f}^L$ so it is, in the final diagram for v_c^L, entirely masked by the critical velocity induced by the fermionic excitation branch. At $q = q_{\rm sup}$, the bosonic excitation branch indeed meets the two fermionic excitation "ceiling" $\epsilon_f^{\rm eff}(q)$ so that $v_b(q_{\rm sup}) = v_f(q_{\rm sup}) \geq \inf_q v_f(q) = v_{c,f}^L$. As a consequence, the $B_1 - F$ boundary is *above* the transition line between the zones B_{q_0} [where $v_{c,b}^L = v_b(q_0)$] and $B_{q_{\rm sup}}$ [where $v_{c,b}^L = v_b(q_{\rm sup})$], that is above the black dashed line in figure 4a.

In a symmetric manner, the domain $F_{\rm (iv)}$ of $v_{c,f}^L$ corresponding to the stationarity branch (iv), that is to $\alpha > \check{\Delta}/2$, is entirely masked by the contribution of the bosonic excitation branch. On branch (iv), indeed, $v_f(q)$ reaches its minimum over the interval $q \in [0, 2k_{\rm min}]$, see figure 1c. Over this interval, the bosonic excitation branch does exist, since $q_{\rm sup} > 2k_{\rm min}$ as shown by reference [13], and leads to a velocity $v_b(q)$ everywhere smaller than the velocity $v_f(q)$, since one has everywhere $\epsilon_b(q) \leq \epsilon_f^{\rm eff}(q)$. As a consequence, $v_{c,b}^L$ is less than $v_{c,f}^{\rm (iv)} = \inf_{q\in[0,2k_{\rm min}]} v_f(q)$, and the boundary

between B_1 and F is *below* the $F_{(\mathrm{iv})} - F_{(\mathrm{i})}$ transition line for $v^L_{c,f}$, that is below the green dashed line in figure 4a.

To summarise, the $B_1 - F$ boundary is bracketed by the green dashed ceiling $\alpha = F_f(2) = \breve{\Delta}/2$ (see section 2), and the black dashed floor $\alpha = \lim_{\breve{q}_0 \to \breve{q}_{\mathrm{sup}}} F_b(\breve{q}_0) = F_b(\breve{q}_{\mathrm{sup}})$ (see section 3). But, as the numerics show, the quantity $F_b(\breve{q}_{\mathrm{sup}})$ considered as a function of $\breve{\Delta}$ is extremely close to $\breve{\Delta}/2$ up to $\breve{\Delta} \approx 0.6$ (beyond that value, it starts bending down). More precisely, for $\breve{\Delta} < 0.55$, the deviation is less than four per mil and, also, q_{sup} differs from $2k_{\mathrm{min}}$ by less than one per mil. This is why the $B_1 - F$ boundary, the green dashed line and the black dashed line almost coincide in figure 4a. We shall be more precise at the end of this section: we shall show analytically that the $B_1 - F$ boundary lies exactly on top of the black dashed line and that two zones of the plane $(\breve{\Delta}, \alpha)$ exactly coincide:

$$B_{q_0}{=}B_1 \tag{25}$$

Explaining why the dashed lines almost coincide at the $B_1 - F$ boundary: In the limit $\breve{\Delta} = \Delta/\mu \ll 1$, one can physically understand why the green and black dashed lines almost coincide: The low q linear part of $\epsilon_b(q)$, when linearly extrapolated, reaches the two fermionic excitation ceiling $\epsilon_f^{\mathrm{eff}}(q) \simeq 2\Delta$ at a point $q_{\mathrm{extra}} \approx 2\Delta/(\hbar c) \ll 2k_{\mathrm{min}}$ since $c \simeq (2\mu/3m)^{1/2}$ in that limit. The bosonic excitation branch actually bends at $q = q_{\mathrm{extra}}$ then closely follows the ceiling until it reaches it at the point q_{sup}, which is very close to $2k_{\mathrm{min}}$ ($\breve{q}_{\mathrm{sup}} \simeq 2$). As a consequence, the functions $\epsilon_b(q)$ and $\epsilon_f^{\mathrm{eff}}(q)$, or the functions $F_f(\breve{q})$ and $F_b(\breve{q})$ may be in practice identified on a broad neighbourhood of q_{sup}, or of $\breve{q}_{\mathrm{sup}}$ far enough to the right of q_{extra} or of $\breve{q}_{\mathrm{extra}} = 3^{1/2}\breve{\Delta}$; at this stage, one can also assimilate the function $F_f(\breve{q})$ to its expression $\frac{\mathrm{d}}{\mathrm{d}\breve{q}}(-2\breve{\Delta}/\breve{q}) = 2\breve{\Delta}/\breve{q}^2$ on the stationarity branch (iv), see equations (15) and (16). In short:

$$F_b(\breve{q}) \simeq \frac{2\breve{\Delta}}{\breve{q}^2} \ \text{ for } \ \breve{\Delta} \ll \breve{q} \ \text{ and } \ \breve{\Delta} \ll 1 \tag{26}$$

These ideas are successfully illustrated in figure 2. This explains why $F_b(\breve{q}_{\mathrm{sup}}) \simeq \breve{\Delta}/2$ at low $\breve{\Delta}$. What is fortunate here is that $\breve{\Delta} = 0.55$ is already small enough from that perspective.

$v^L_{c,f}$ and $v^L_{c,b}$ almost coincide in the zone B_1 : One may wonder if the previous approximation (26) applies not only to $\breve{q} = \breve{q}_{\mathrm{sup}}$ but also to the location q_0 of the absolute minimum of $v_b(q)$, within the zone B_{q_0} of figure 3b. For a fixed $\breve{\Delta}$, this suffices to be checked for the minimal reachable value q_0^{min} of q_0, corresponding to the maximal value of α reached in that zone, that satisfies $A_+ = A_-$ in equation (24). This is confirmed by the numerics, which means that $\breve{q}_0^{\mathrm{min}}$ is always in practice far enough to the right of the location of the maximum of $F_b(\breve{q})$, since that maximum cannot be predicted by (26). As a remarkable consequence, we obtain that in the zone B_{q_0}, that is in the zone B_1:

$$\forall (\breve{\Delta}, \alpha) \in B_1, v^L_c = v^L_{c,b} \simeq v^L_{c,f} \tag{27}$$

where equation (17) can be used to get $v^L_{c,f}$.

Line $v^L_{c,f} = c$ is remarkable : Now that we have understood the bosonic-fermionic nature of zone B_1, that is the validity of the approximation (27), we can approximate in a simple way the location of the $B_1 - B_2$ boundary, that is of the $B_{q_0} - B_0$ boundary, where the zone B_0 is such that $v^L_{c,b} = c$. One just needs to solve the equation

$$v^L_{c,f} = c \tag{28}$$

The corresponding black dotted line in figure 4a is indeed very close to the black solid line for $\breve{\Delta} < 0.55$. Even better, it reproduces *exactly* the $B_2 - F$ boundary for $\breve{\Delta} > 0.55$, where $\alpha < \breve{\Delta}/2$ and $v^L_{c,f}$ now originates from the stationarity branch (i). One has indeed $v_b(q_{\mathrm{sup}}) = v_f(q_{\mathrm{sup}}) \geq v^L_{c,f}$ as we have already seen, so that the zone $B_{q_{\mathrm{sup}}}$ cannot compete and the $F - B_2$ transition is a $F - B_0$ transition given by equation (28).

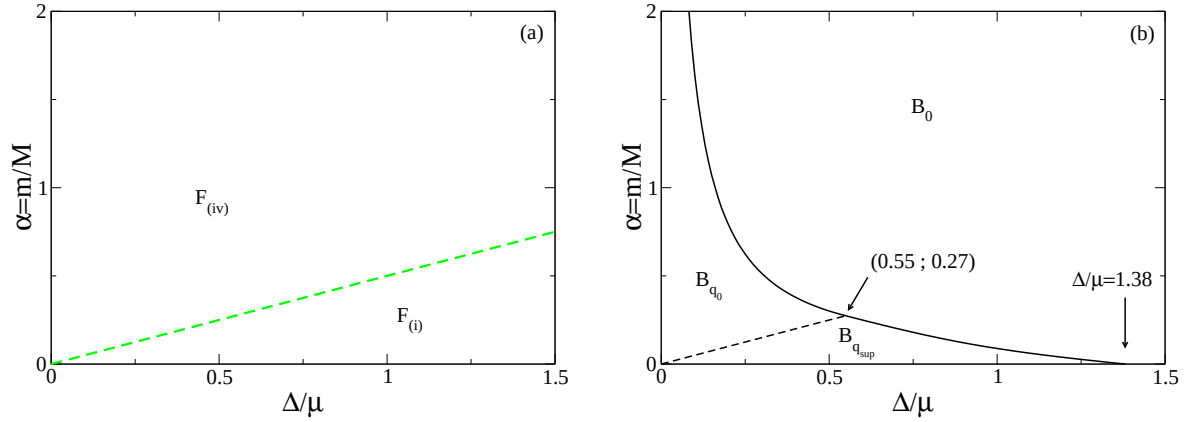

Figure 3: Diagram in the plane ($\check{\Delta} = \Delta/\mu, \alpha = m/M$), $\mu > 0$, indicating (a) for the fermionic excitation branch of the superfluid, on which stationarity branch of equation (12) the critical velocity $v^L_{c,f}$ is realised (with the self-explanatory notations $F_{(\mathrm{i})}$ and $F_{(\mathrm{iv})}$), and (b) for the bosonic excitation branch, if the critical velocity $v^L_{c,b}$ is reached at the lower endpoint $q = 0$ (zone B_0), at the upper endpoint $q = q_{\mathrm{sup}}$ (zone $B_{q_{\mathrm{sup}}}$) or in the interior of its existence interval, $q = q_0 \in]0, q_{\mathrm{sup}}[$ (zone B_{q_0}). The solid (dashed) lines indicate a first order (second order) transition for $v^L_{c,f}$ or $v^L_{c,b}$, that is with a discontinuous first order (second order) differential.

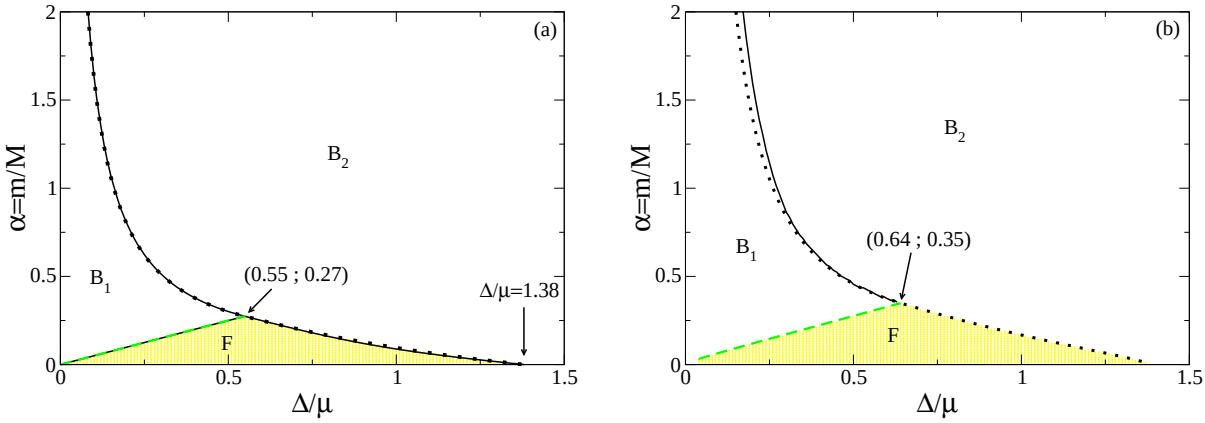

Figure 4: (a) Diagram in the plane ($\check{\Delta} = \Delta/\mu, \alpha = m/M$), $\mu > 0$, showing in which zone the global critical velocity v^L_c of the impurity of mass M has a bosonic origin (case $v^L_{c,b} < v^L_{c,f}$, indicated by the letter B and a uniform white background) or a fermionic origin (case $v^L_{c,f} < v^L_{c,b}$, indicated by the letter F and a yellow hatched background). The bosonic domain is split in two sub-domains B_1 and B_2 by the first order transition line between the zones $B_{q_{\mathrm{sup}}}$ and B_{q_0} [black solid line with abscissas $\check{\Delta} < 0.55$] of figure 3b. Unexpectedly, the $B_2 - F$ boundary is close to the first order transition line between the zones $B_{q_{\mathrm{sup}}}$ and B_0 [black solid line with abscissas $\check{\Delta} > 0.55$] of figure 3b. Remarkably also, the unmasked part of the second order transition line for $v^L_{c,f}$ [green dashed line] and the second order transition line between the zones B_{q_0} and $B_{q_{\mathrm{sup}}}$ [black dashed line], that bracket the $B_1 - F$ boundary, are in practice indistinguishable; an analytical study shows that the $B_1 - F$ and $B_{q_0} - B_{q_{\mathrm{sup}}}$ boundaries actually exactly coincide, and that $v_b(q)$ and $v_f(q)$ on that boundary have their minimum in $q = q_{\mathrm{sup}}$, and that v^L_c exhibits a second order transition. Last, the line $v^L_{c,f} = c$ [black dotted line] reproduces exactly the $B_2 - F$ boundary (as it should be) and also quite well the $B_2 - B_1$ boundary. (b) Generalisation of the previous diagram to the case of a superfluid of bosonic impurities moving in the Fermi superfluid, for a fixed ratio $\mu_B/E_F = 0.1$ of the rest frame Bose chemical potential and the Fermi energy of the fermions. The new critical velocity v^L_c also exhibits a partition in three zones, separated as in the previous case by a discontinuity of its second order ($F - B_1$ boundary) or first order ($F - B_2$ and $B_1 - B_2$ boundaries) differential: the zone F (yellow hatched) where $v^L_c = v^L_{c,f}$, and the zones B_1 and B_2, where $v^L_c = v^L_{c,b}$. The $F - B_1$ boundary, where $v_b(q)$ and $v_f(q)$ have their minimum at $q = q_{\mathrm{sup}}$, is very close to the $F_{(\mathrm{i})} - F_{(\mathrm{iv})}$ boundary at the considered value of μ_B [green dashed line, interrupted as it reaches zone B_2]. The $F - B_2$ boundary is given exactly (as it should be) by the black dotted line $v^L_{c,f} = c + c_B$, where c (c_B) is the son velocity in the Fermi (Bose) superfluid at rest, to the right of the triple point. The $B_1 - B_2$ boundary, which is simply the $B_{q_0} - B_0$ boundary at the considered value of μ_B [black solid line] on the contrary deviates from the dotted line away from and to the left of the triple point.

A quasi-coincidence at the $B_2 - F$ boundary: What ultimately remains to be explained is the quasi-coincidence of the $F - B_2$ and $B_{q_{\rm sup}} - B_0$ boundaries, that is of the black dotted line and the black solid line for $\check{\Delta} > 0.55$ in figure 4a. This quasi-coincidence is however more approximate than the previous ones, not to say accidental. It turns out that at the point of the $F - B_2$ boundary with abscissa $\check{\Delta} = 0.55$, $q_{\rm sup}$ is very close to the location $q = 2k_{\rm min}$ of the minimum of $v_f(q)$; also, at the endpoint of that boundary with abscissa $\check{\Delta} \simeq 1.38$, $\check{q}_{\rm sup} \simeq 2.59$ is very close to the location $\check{q} \simeq 2.61$ of the minimum of $\check{v}_f(\check{q})$, which is unexplained. As a consequence, the $F - B_2$ and $B_{q_{\rm sup}} - B_0$ boundaries almost touch in their endpoints. In the intermediate region $0.55 < \check{\Delta} < 1.38$, however, they appreciably deviate in figure 4a; numerics confirm that $q_{\rm sup}$ can significantly deviate from the location of the minimum of $v_f(q)$, at least by 5%, but this only leads to a weak deviation of $v_b(q_{\rm sup}) = v_f(q_{\rm sup})$ from $\inf_q v_f(q)$ because $v_f(q)$ varies only quadratically around its minimum.

Order of the transitions and summary: We finally give the minimal order of the differentials of v_c^L that are discontinuous at the boundaries between the zones B_1, B_2 and F. Since no boundary has any vertical portion in the plane $(\check{\Delta}, \alpha)$, we can limit ourselves to the derivatives of v_c^L with respect to α at fixed $\check{\Delta}$, taking advantage within each zone of the general property:

$$\frac{\mathrm{d}}{\mathrm{d}\alpha} v_c^L = q_0^{\rm abs} \tag{29}$$

where $q_0^{\rm abs}$, a function of α, is the location of the absolute minimum $q_{0,b}$ of $q \mapsto v_b(q)$ or $q_{0,f}$ of $q \mapsto v_f(q)$, depending on whether v_c^L originates from the bosonic or fermionic excitation branch [9].

Another remarkable, may be even surprising property is that the bosonic excitation branch $q \mapsto \epsilon_b(q)$ is exactly *tangential* to the two fermionic excitation ceiling $q \mapsto \epsilon_f^{\rm eff}(q)$ at the point of abscissa $q = q_{\rm sup}$ where they meet [10] :

$$\frac{\mathrm{d}}{\mathrm{d}q}\epsilon_b(q_{\rm sup}) = \frac{\mathrm{d}}{\mathrm{d}q}\epsilon_f^{\rm eff}(q_{\rm sup}), \text{ so that } F_b(\check{q}_{\rm sup}) = F_f(\check{q}_{\rm sup}). \tag{30}$$

On the contrary, for $q < q_{\rm sup}$, the (negative) energy deviation $\epsilon_b(q) - \epsilon_f^{\rm eff}(q)$ has a positive derivative so that $F_b(\check{q}) < F_f(\check{q})$. Then, close to the $B_1 - F$ boundary, the functions $F_b(\check{q})$ et $F_f(\check{q})$ decrease and converge to a *common* limit $F_f(\check{q}_{\rm sup})$ when $q \to q_{\rm sup}^-$, the former being less than the latter that goes one decreasing beyond $\check{q}_{\rm sup}$, see figure 1c. One can then show graphically that the $F - B_1$ boundary is reached at $\alpha = F_f(\check{q}_{\rm sup})$, with $q_{0,b} = q_{0,f} = q_{\rm sup}$, and with $v_b(q_{0,b}) = v_f(q_{0,f})$ as it should be: this is a second order transition for v_c^L according to (29); as a consequence, the $F - B_1$ and $B_{q_0} - B_{q_{\rm sup}}$ boundaries exactly coincide and so do the zones in (25) [11].

The remaining part is more straightforward. At the $B_1 - B_2$ boundary, $q_{0,b}$ jumps from to positive value $q_0^{\rm min}$ (to the right of the $F_b(\check{q})$ maximum, see figure 2b) to the value zero, so that v_c^L exhibits a first order transition. There is a similar scenario at the $F - B_2$ boundary, where $v_f^{(\rm i)}(q_{0,f}) = c \equiv v_b(q_{0,b} = 0)$, and the absolute minimum location $q_0^{\rm abs}$ jumps from the value $q_{0,f} \geq 2k_{\rm min}$ to the value zero.

5. Critical relative velocity of Bose and Fermi superfluids

It is likely that experimental verification of the Landau critical velocity predicted here will be for many impurities, rather than one. Since it is desirable to send into the Fermi superfluid a homokinetic ensemble of impurities, one

9. When $v_c^L = v_{c,f}^L$, this is a tautology of equation (19). When $v_c^L = v_{c,b}^L$, one has *either* $0 < q_{0,b} < q_{\rm sup}$, in which case $\alpha = F_b(\check{q}_{0,b})$ and one simply takes the derivative of $\check{v}_b(\check{q}_{0,b}(\alpha))$ with respect to α in equation (23), *or* $q_{0,b} = 0$ or $q_{\rm sup}$, in which case $\check{q}_{0,b}$ is locally constant and the result is trivial.

10. We use the footnote 7 and the explicit expressions of the integrals I_{11}, I_{12} and I_{22} of reference [13]. Taking the derivative of the implicit equation $f(\omega_b(q), q) = 1$ with respect to q, we obtain $\frac{\mathrm{d}}{\mathrm{d}q}\omega_b(q) = -\partial_q f/\partial_\omega f$. Taking the partial derivatives ∂_ω and ∂_q of each integral under the integral sign, we get in the integrand a factor $1/[\epsilon_{f,\mathbf{k}+\mathbf{q}/2} + \epsilon_{f,\mathbf{k}-\mathbf{q}/2} - \epsilon_b(q)]^2$, whose tridimensional integral over $\mathbf{k}$ is infrared divergent when $q \to q_{\rm sup}^-$, that is when $\epsilon_f^{\rm eff}(q) - \epsilon_b(q) \to 0^+$, since $\check{\epsilon}_{f,\mathbf{k}+\mathbf{q}/2} + \check{\epsilon}_{f,\mathbf{k}-\mathbf{q}/2} \underset{\mathbf{k}\to\mathbf{0}}{=} \check{\epsilon}_f^{\rm eff}(\check{q}) + \check{k}^2(\check{q}^2 - 4)/\check{\epsilon}_f^{\rm eff}(\check{q}) + (\check{\mathbf{k}}\cdot\check{\mathbf{q}})^2\check{\Delta}^2/(\check{\epsilon}_f^{\rm eff}(\check{q})/2)^{3/2} + O(k^4)$. Then $\partial_{\check{\omega}}\check{I}_{11} = \check{\omega}^2 J + O(1)$, $\partial_{\check{\omega}}\check{I}_{12} = (\check{q}^2 - 4)J/2 + O(1)$, $\partial_{\check{\omega}}\check{I}_{22} = [\check{\omega}^2 - (2\check{\Delta})^2]J + O(1)$, where the $O(1)$ remain bounded when $(\check{\omega}, \check{q}) \to (\check{\epsilon}_f^{\rm eff}(\check{q}_{\rm sup}), \check{q}_{\rm sup})$ whereas $J = \int \frac{d^3\check{k}}{4\pi}[(\check{\epsilon}_{f,\mathbf{k}+\mathbf{q}/2} + \check{\epsilon}_{f,\mathbf{k}-\mathbf{q}/2} - \check{\omega})\,\check{\epsilon}_f^{\rm eff}(\check{q})]^{-2}$ diverges. Similarly, $\partial_{\check{q}}\check{I}_{11} = [-\frac{\mathrm{d}}{\mathrm{d}\check{q}}\check{\epsilon}_f^{\rm eff}(\check{q})]\check{\omega}^2 J + O(1)$, $\partial_{\check{q}}\check{I}_{12} = [-\frac{\mathrm{d}}{\mathrm{d}\check{q}}\check{\epsilon}_f^{\rm eff}(\check{q})](\check{q}^2 - 4)J/2 + O(1)$ and $\partial_{\check{q}}\check{I}_{22} = [-\frac{\mathrm{d}}{\mathrm{d}\check{q}}\check{\epsilon}_f^{\rm eff}(\check{q})][\check{\omega}^2 - (2\check{\Delta})^2]J + O(1)$. Since $\frac{\check{\omega}^2}{\check{I}_{11}} + \frac{\check{\omega}^2 - (2\check{\Delta})^2}{\check{I}_{22}} - \frac{\check{q}^2 - 4}{\check{I}_{12}}$ does not tend to zero, one obtains the property (30).

11. For $\alpha < F_b(\check{q}_{\rm sup}) = F_f(\check{q}_{\rm sup})$, the minimum of $v_b(q)$, reached at $q_{\rm sup}$, is larger than the one of $v_f(q)$, reached at $q_{0,f} > q_{\rm sup}$, since $v_f(q_{0,f}) < v_f(q_{\rm sup}) = v_b(q_{\rm sup})$. For $\alpha > F_f(\check{q}_{\rm sup}) = F_b(\check{q}_{\rm sup})$, the minimum of $v_f(q)$, reached at $q_{0,f} < q_{\rm sup}$, is larger than the one of $v_b(q)$, reached at $q_{0,b} < q_{\rm sup}$, since $v_b(q_{0,b}) < v_b(q_{0,f}) < v_f(q_{0,f})$.

is naturally led to use a Bose-Einstein condensate of such impurities. Interactions among impurities will then be in general significant, as is the case in the reference [17]. Landau's reasoning must therefore be generalised to the case of a Bose superfluid moving at velocity $\mathbf{v}$ inside the Fermi superfluid.

The Bose superfluid is initially at zero temperature in its center-of-mass frame. The arbitrarily weak density-density interaction between the bosons and the fermions, see section 1, creates at least one elementary excitation in the Bose superfluid, of momentum $\hbar\mathbf{q}$ and energy $\epsilon_{B,\mathbf{q}}+\hbar\mathbf{q}\cdot\mathbf{v}$, $\mathbf{q}\mapsto\epsilon_{B,\mathbf{q}}=\epsilon_B(q)$ being the dispersion relation for a superfluid at rest [12]. Concomitantly, a pair of fermionic excitations of wavevectors $\mathbf{k}_1$ and $\mathbf{k}_2$ and of energy $\epsilon_{f,\mathbf{k}_1}+\epsilon_{f,\mathbf{k}_2}$, with $\mathbf{q}=-(\mathbf{k}_1+\mathbf{k}_2)$, or a bosonic excitation of wavevector $-\mathbf{q}$ and energy $\epsilon_{b,-\mathbf{q}}$ appears in the Fermi superfluid. This minimal excitation process cannot conserve energy if the relative velocity v of the two superfluids is below the critical Landau velocities

$$v_{c,f}^L=\inf_{\mathbf{q}} v_f(q)\ \text{ with }\ v_f(q)=\frac{\epsilon_B(q)+\epsilon_f^{\rm eff}(q)}{\hbar q} \tag{31}$$

$$v_{c,b}^L=\inf_{\mathbf{q}} v_b(q)\ \text{ with }\ v_b(q)=\frac{\epsilon_B(q)+\epsilon_b(q)}{\hbar q}, \tag{32}$$

that is below v_c^L, which is the smallest of the two velocities. In what follows, we shall use the Bogoliubov form

$$\epsilon_B(q)=\left[\frac{\hbar^2q^2}{2M}\left(\frac{\hbar^2q^2}{2M}+2\mu_B\right)\right]^{1/2} \tag{33}$$

where μ_B is the (positive) chemical potential of the Bose superfluid at rest and M is the mass of a boson. The previous expressions (8) and (21) correspond, as it should be, to the limiting case $\mu_B\to 0$.

The analysis of the critical velocity $v_{c,f}^L$ on the fermionic branch can be done analytically, introducing dimensionless variables as in equation (16) and the width $\check{Q}_B$ of $\check{\epsilon}_B(\check{q})/\check{q}$, given by

$$\check{Q}_B^2=\frac{2M}{m}\frac{\mu_B}{|\mu|}=\frac{2\check{\mu}_B}{\alpha} \tag{34}$$

One finds identifies the local minima, of zero derivative:

$$\check{v}_f(\check{q})=\alpha(\check{q}^2+\check{Q}_B^2)^{1/2}+\frac{\check{\epsilon}_f^{\rm eff}(\check{q})}{\check{q}},\ \text{ so that }\ \frac{\mathrm{d}}{\mathrm{d}\check{q}}\check{v}_f(\check{q})=\frac{\alpha\check{q}}{(\check{q}^2+\check{Q}_B^2)^{1/2}}-F_f(\check{q}) \tag{35}$$

The root of that expression lies on the stationarity branch (iv) [rather than on branch (i)] if and only if the increasing function $\check{q}\mapsto\alpha\check{q}/(\check{q}^2+\check{Q}_B^2)^{1/2}$ reaches the value $\check{\Delta}/2$ for $\check{q}\in[0,2]$, that is if and only if

$$\frac{2\alpha}{(4+\check{Q}_B^2)^{1/2}}\geq\frac{\check{\Delta}}{2}, \tag{36}$$

as can be shown graphically with the help of figure 1 c. The plane $(\check{\Delta},\alpha)$ is thus again split in two domains $F_{\rm (i)}$ and $F_{\rm (iv)}$, and $\check{v}_{c,f}$ exhibits a second order transition at their boundary.

The analysis of the critical velocity $v_{c,b}^L$ on the bosonic branch is performed numerically. Similarly to the case with one impurity, one finds that the plane $(\check{\Delta},\alpha)$ is split in three domains B_0, $B_{q_{\rm sup}}$ and B_{q_0}, depending on where the absolute minimum of $v_b(q)$ is located, at the lower endpoint, at the upper endpoint or in the interior of the existence interval $[0,q_{\rm sup}]$ of the bosonic branch. The boundaries only weakly differ from the one for the single impurity, since the Bose

12. This results from the following properties of the unitary transform $T_t(\mathbf{v})$ setting the gas into motion as a whole at velocity $\mathbf{v}$, that is a Galilean boost at velocity $-\mathbf{v}$, $T_t(\mathbf{v})=\exp[-\mathrm{i}\sum_j t\mathbf{v}\cdot\mathbf{p}_j/\hbar]\exp[\mathrm{i}\sum_j m_B\mathbf{v}\cdot\mathbf{r}_j/\hbar]\exp[\mathrm{i}tN_Bm_Bv^2/2]$, where the sum is over the N_B bosons, of mass $m_B=M$, position operators $\mathbf{r}_j$ and momentum operators $\mathbf{p}_j$: $T_t^\dagger(\mathbf{v})H_BT_t(\mathbf{v})=H_B+\mathbf{v}\cdot\mathbf{P}_B+N_Bm_Bv^2/2$ and $T_t^\dagger(\mathbf{v})\mathbf{P}_BT_t(\mathbf{v})=\mathbf{P}_B+N_Bm_B\mathbf{v}$, where H_B is the Hamiltonian of the bosons and $\mathbf{P}_B$ is their total momentum operator. It then remains to compare the energies and momenta of $T_t(\mathbf{v})|\Psi_0\rangle$ and $T_t(\mathbf{v})|\Psi_1^{\mathbf{k}}\rangle$, where the state vectors $|\Psi_0\rangle$ and $|\Psi_1^{\mathbf{k}}\rangle$ represent the superfluid at rest in its ground state or in presence of an elementary excitation of wavevector $\mathbf{k}$.

chemical potential was taken to be small as compared to the Fermi energy of the fermions. Note that $v^L_{c,b} = c + c_B$ in the whole zone B_0, c and c_B being the sound velocities in the Fermi and Bose superfluids at rest.

The diagram in the plane $(\check{\Delta}, \alpha)$ for the global critical velocity v^L_c is shown in figure 4b and is described in detail in the caption. The results and their discussion are close to the single impurity case, see the previous section. We just report a noticeable difference: the dotted line obeying the equation $v^L_{c,f} = c + c_B$ no longer gives a good approximation to the $B_1 - B_2$ boundary, except close to the triple point.

6. Conclusion

We have extended Landau's calculation of the critical velocity in a non-polarized Fermi superfluid to the case where the moving object is (a) an impurity of finite mass M, and (b) a superfluid of such bosonic impurities, taking into account the BCS pair breaking excitations of the Fermi superfluid (fermionic excitation branch) and the RPA excitation of the pair center-of-mass motion (bosonic excitation branch) as in reference [13].

When the chemical potential of the fermions is negative, $\mu < 0$, we find that the critical velocity is determined by the phononic part of the bosonic excitation branch and is therefore simply (a) the sound velocity c in the Fermi superfluid, or (b) the sum $c + c_B$, where c_B is the sound velocity in the Bose superfluid at rest.

When the chemical potential of the fermions is positive, $\mu > 0$, these results only apply to some zone B_2 in the plane $(\Delta/\mu, m/M)$, where Δ is the gap and m the mass of a particle in the Fermi superfluid. For (a) as well as for (b), at least when the chemical potential μ_B of the bosons at rest is small as compared to the Fermi energy of the fermions, there exist two other zones, a zone B_1 where the critical velocity is determined by the intermediate (non phononic) part of the bosonic excitation branch, and a zone F where the critical velocity is the one $v^L_{c,f}$ on the fermionic excitation branch. The critical velocity has a discontinuous second order differential at the $F - B_1$ boundary, and a discontinuous first order differential at the $F - B_2$ and $B_1 - B_2$ boundaries. The three boundaries merge at a triple point. The $F - B_2$ boundary exactly obeys the equation $v^L_{c,f} = c$ [case (a)] or $v^L_{c,f} = c + c_B$ [case (b)]. Similarly, on the $B_1 - B_2$ boundary, the critical velocities coming from the phononic part and the intermediate part of the bosonic excitation branch are exactly equal; in the case (a), one gets a good approximation by solving the simpler equation $v^L_{c,f} = c$, because the critical velocity in B_1 is actually very close to $v^L_{c,f}$; in the case (b), this is not an as good approximation, except in the vicinity of the triple point. Last, the $F - B_1$ boundary is exactly on the line $v^L_{c,f} = v_f(q_{\rm sup})$, where the function $v_f(q)$ is minimal at the maximal wavenumber $q_{\rm sup}$ of the bosonic excitation excitation branch, and it can be well approximated both for (a) and (b) by a portion of the line of discontinuity of the second order differential of $v^L_{c,f}$; this line is given by the equation $m/M = \Delta/(2\mu)$ for the case (a), and by assuming equality rather than inequality in (36), for the case (b).

These predictions may be verified experimentally with the mixture of superfluids of bosonic ^{7}Li and fermionic ^{6}Li isotopes of lithium that was recently prepared at ENS [17]. For example, the predicted first order transition at the $B_1 - B_2$ boundary may be revealed through a variation of the scattering length of the opposite spin fermions (this will change $\check{\Delta}$) with a Feshbach resonance; it remains to measure the corresponding critical velocity and to check that it has a kink as a function of the interaction strength, at the crossing point of the $B_1 - B_2$ boundary. The fixed value $m/M \simeq 6/7$ of the mass ratio does not allow, however, to cross the other boundaries.

It may be possible to extend our theoretical study to what was directly measured in reference [17], that is the damping rate of the Bose superfluid oscillations within the harmonically trapped Fermi superfluid, including possible non-zero temperature effects. It also remains to see if the boson-fermion interaction is indeed so weak that one can make an analysis à la Landau, restricting to the minimal number of elementary excitations, and obtain the same energy barrier (preventing damping of the motion of the impurities in the Fermi superfluid) as in the experiment. We hope that these questions will provide some inspiration for future works, theoretical or experimental.

Acknowledgements

Our group is also affiliated to IFRAF. We acknowledge financial support from the Nano-K DIM (ATOMIX project) and from the Institut de France (Louis D. prize). We thank the members of the "cold fermions" group, as well as Claude Cohen-Tannoudji, Franck Laloë and Xavier Leyronas for useful discussions.

References

[1] M. Inguscio, W. Ketterle, C. Salomon, "Ultracold Fermi Gases" (Società italiana di fisica, Bologna, Italy, 2007) ; S. Giorgini, L.P. Pitaevskii, S. Stringari, "Theory of ultracold atomic Fermi gases", Rev. Mod. Phys. **80**, 1215 (2008) ; W. Zwerger, "The BCS-BEC Crossover and the Unitary Fermi Gas" (Springer, Berlin, 2012).

[2] A.J. Leggett, "Quantum Liquids", section 2.4 (Oxford University Press, Oxford, 2006).

[3] I. Carusotto, Y. Castin, "Atom interferometric detection of the pairing order parameter in a Fermi gas", Phys. Rev. Lett. **94**, 223202 (2005).

[4] M. Zwierlein, C. Stan, C. Schunck, S. Raupach, A. Kerman, W. Ketterle, "Condensation of Pairs of Fermionic Atoms near a Feshbach Resonance", Phys. Rev. Lett. **92**, 120403 (2004) ; S. Jochim, M. Bartenstein, A. Altmeyer, G. Hendl, Cheng Chin, J. Hecker Denschlag, R. Grimm, "Pure Gas of Optically Trapped Molecules Created from Fermionic Atoms", Phys. Rev. Lett. **91**, 240402 (2003).

[5] M. Zwierlein, J.R. Abo-Shaeer, A. Schirotzek, C.H. Schunck, W. Ketterle, "Vortices and superfluidity in a strongly interacting Fermi gas", Nature **435**, 1047 (2005).

[6] I. Carusotto, Y. Castin, "Superfluidity of the 1D Bose gas", Comptes Rendus Physique **5**, 107 (2004).

[7] L.A. Sidorenkov, Meng Khoon Tey, R. Grimm, Yan-Hua Hou, L. Pitaevskii, S. Stringari, "Second sound and the superfluid fraction in a Fermi gas with resonant interactions", Nature **498**, 78 (2013).

[8] S. Nascimbène, N. Navon, K.J. Jiang, F. Chevy, C. Salomon, "Exploring the thermodynamics of a universal Fermi gas", Nature **463**, 1057 (2010) ; Mark J.H. Ku, A.T. Sommer, Lawrence W. Cheuk, M. Zwierlein, "Revealing the Superfluid Lambda Transition in the Universal Thermodynamics of a Unitary Fermi Gas", Science **335**, 563 (2012).

[9] D. Miller, J. Chin, C. Stan, Y. Liu, W. Setiawan, C. Sanner, W. Ketterle, "Critical Velocity for Superfluid Flow across the BEC-BCS Crossover", Phys. Rev. Lett. **99**, 070402 (2007).

[10] T. Frisch, Y. Pomeau, S. Rica, "Transition to dissipation in a model of superflow", Phys. Rev. Lett. **69**, 1644 (1992).

[11] L. Landau, "The theory of superfluidity of helium II", J. Phys. (URSS) **5**, 71 (1941).

[12] G.E. Astrakharchik, L.P. Pitaevskii, "Motion of a heavy impurity through a Bose-Einstein condensate", Phys. Rev. A **70**, 013608 (2004).

[13] R. Combescot, M. Yu. Kagan, S. Stringari, "Collective mode of homogeneous superfluid Fermi gases in the BEC-BCS crossover", Phys. Rev. A **74**, 042717 (2006).

[14] B. Svistunov, E. Babaev, N. Prokof'ev, "Superfluid States of Matter", chapter 1, p. 42 (CRC Press, London, 2014).

[15] O. Lychkovskiy, "Perpetual motion and backscattering oscillations of a mobile impurity in a quantum fluid", arXiv:1403.7408v2.

[16] A.P. Chikkatur, A. Görlitz, D.M. Stamper-Kurn, S. Inouye, S. Gupta, W. Ketterle, "Suppression and enhancement of impurity scattering in a Bose-Einstein condensate", Phys. Rev. Lett. **85**, 483 (2000).

[17] I. Ferrier-Barbut, M. Delehaye, S. Laurent, A.T. Grier, M. Pierce, B.S. Rem, F. Chevy, C. Salomon, "A mixture of Bose and Fermi superfluids", Science **345**, 1035 (2014).

[18] A. Minguzzi, G. Ferrari, Y. Castin, "Dynamic structure factor of a superfluid Fermi gas", Eur. Phys. J. D **17**, 49 (2001).

[19] P.W. Anderson, "Random-Phase Approximation in the Theory of Superconductivity", Phys. Rev. **112**, 1900 (1958).

[20] A. Altmeyer, S. Riedl, C. Kohstall, M.J. Wright, R. Geursen, M. Bartenstein, C. Chin, J. Hecker Denschlag, R. Grimm, "Precision Measurements of Collective Oscillations in the BEC-BCS Crossover", Phys. Rev. Lett. **98**, 040401 (2007).

arXiv:1408.1326v3 [cond-mat.quant-gas] 17 Jul 2015

La vitesse critique de Landau d'une particule dans un superfluide de fermions

Yvan Castin[a], Igor Ferrier-Barbut[a], Christophe Salomon[a]

[a] *Laboratoire Kastler Brossel, ENS-PSL, CNRS, UPMC-Sorbonne Universités et Collège de France, Paris, France*

Résumé

Nous déterminons la vitesse critique v_c^L d'une impureté en mouvement dans un superfluide de fermions par un raisonnement à la Landau, c'est-à-dire en nous limitant aux processus d'excitation minimale du superfluide par la particule. v_c^L est alors la plus petite des vitesses auxquelles ces processus sont énergétiquement permis. Comme le superfluide de fermions possède deux branches d'excitation, l'une fermionique prédite par la théorie de BCS et consistant à briser des paires de fermions, l'autre bosonique prédite par la RPA d'Anderson et consistant à les mettre en mouvement, il y a une vitesse critique de Landau $v_{c,f}^L$ et $v_{c,b}^L$ associée à chaque branche et v_c^L est la plus petite des deux. Dans l'espace des paramètres (force des interactions dans le superfluide, masse relative fermion-impureté), nous trouvons deux lignes de transition, correspondant respectivement à la discontinuité des différentielles première et seconde de v_c^L. Ces deux lignes se rejoignent en un point triple et partitionnent le plan en trois domaines. Nous étendons succinctement cette analyse au cas, très récemment réalisé à l'ENS, où l'objet en mouvement dans le superfluide de fermions est un superfluide d'impuretés bosoniques en interaction faible, plutôt qu'une impureté seule. Lorsque le potentiel chimique des bosons reste petit devant l'énergie de Fermi des fermions, la topologie des lignes de transition sur v_c^L ne change pas ; un résultat marquant est alors qu'au domaine $v_c^L = c$, où c est la vitesse du son dans le superfluide de fermions, correspond maintenant un domaine $v_c^L = c + c_B$, où c_B est la vitesse du son dans le superfluide de bosons, avec des frontières légèrement déplacées.

Mots-clés : gaz de fermions ; superfluidité ; vitesse critique ; critère de Landau ; atomes froids

1. Introduction, rappels et motivations

Les gaz dégénérés d'atomes neutres fermioniques de spin 1/2 en interaction, supposés ici non polarisés c'est-à-dire avec des populations égales dans les deux états internes, sont réalisables en laboratoire depuis 2002 [1]. Ils présentent, en dessous d'une température critique, deux propriétés quantiques macroscopiques remarquables et bien distinctes. La première est la présence d'un condensat de paires, c'est-à-dire l'existence d'un mode macroscopiquement peuplé de l'opérateur densité à deux corps [2], qui se traduit physiquement par une longueur de cohérence macroscopique pour le champ de paires, limitée donc seulement par la taille du système. Cet « ordre à longue portée » est en principe mesurable directement par interférométrie [3], mais c'est pour l'instant la fraction de paires condensées f_c que l'on sait mesurer [4]. La seconde propriété, celle qui nous intéresse ici, est la superfluidité. Elle a la réputation d'être plus subtile, puisqu'elle met en jeu un ensemble de phénomènes complémentaires, dont certains reposent sur la métastabilité plutôt que sur des propriétés à l'équilibre. Nous en retiendrons ici deux aspects, en passant sous silence les réseaux de tourbillons quantiques [5] et les courants permanents.

Le premier aspect met en jeu la notion de fraction superfluide f_s : pour des conditions aux limites périodiques cubiques de période L, c'est la fraction du gaz qui n'est pas entraînée par un potentiel extérieur en mouvement, même au bout d'un temps arbitrairement long permettant au système d'atteindre l'équilibre thermique dans le repère en mouvement. Si le potentiel extérieur se déplace selon la direction Ox, à la vitesse v, la fraction normale $f_n = 1 - f_s$ du gaz est par définition entraînée à cette même vitesse, si bien que

$$1 - f_s = \lim_{N\to\infty,\,\rho=\text{cte}} \lim_{v\to 0} \lim_{\eta\to 0} \frac{\langle P_x\rangle}{Nmv} \tag{1}$$

où le gaz, composé de N atomes de masse m et de densité $\rho = N/L^3$, possède à l'équilibre une impulsion moyenne totale $\langle P_x\rangle$ selon Ox en présence du potentiel extérieur. La triple limite doit être prise dans cet ordre, afin que la

fraction normale soit une quantité intrinsèque. On fait d'abord tendre vers zéro l'amplitude η du potentiel extérieur, afin que f_n ne dépende pas de la forme du potentiel. Puis l'on fait tendre la vitesse d'entraînement vers zéro, *avant* de prendre la limite thermodynamique, de façon que l'on ait toujours

$$v \ll \frac{2\pi\hbar}{mL} \tag{2}$$

En effet, prendre v égale au quantum de vitesse $2\pi\hbar/(mL)$ permettrait, par invariance galiléenne des conditions aux limites périodiques à cette vitesse, de conclure que le gaz est au repos dans le référentiel du potentiel extérieur, ce qui conduirait à $\langle P_x \rangle = Nmv$ dans le référentiel du laboratoire, et donc au résultat invariable (et non physique) $f_n = 1$ [6]. La fraction superfluide f_s du gaz de fermions de spin 1/2 non polarisé a été très récemment mesurée dans le régime d'interaction forte, en fonction de la température T [7], et a permis de vérifier que la transition de phase superfluide se produit à la même température que celle de la condensation de paires [4] et que celle déduite des singularités de grandeurs thermodynamiques [8]. Une propriété importante attendue, et confirmée expérimentalement sur d'autres systèmes, est que $f_s \to 1$ à température nulle.

Le deuxième aspect de la superfluidité, limité en toute rigueur au cas d'une température nulle, est l'existence d'une vitesse critique v_c en dessous de laquelle un objet traversant le gaz ne subit aucune force de friction et ne peut y déposer de l'énergie, donc y a un mouvement non amorti. Cet aspect a bien été observé dans les gaz d'atomes froids fermioniques pour un réseau optique unidimensionnel en mouvement [9]. Le calcul de la vitesse critique est souvent ardu, et le résultat dépend en général des caractéristiques de l'objet et de son couplage au gaz [10]. Cependant, pour un couplage arbitrairement *faible* à la densité du gaz [1], dans l'esprit de la définition (1), on est conduit à se limiter, comme l'a fait Landau pour un gaz de bosons [11], à la première étape dans la dissipation de l'énergie cinétique de l'objet, à savoir la création du nombre minimal possible d'excitations élémentaires dans le gaz, une seule dans le cas de [11]. Formellement, ceci revient à calculer l'amplitude de diffusion de l'objet sur le gaz dans l'approximation de Born, au premier ordre en la constante de couplage gaz-objet, ou à évaluer le taux d'émission d'excitations par l'objet selon la règle d'or de Fermi, au second ordre en la constante de couplage ; dans les deux cas apparaît en facteur une distribution de Dirac assurant la conservation de l'énergie non perturbée [12]. Dans le présent travail, l'objet est, sauf dans la section 5, une particule de masse M, discernable des atomes du gaz, de vitesse initiale v donc d'énergie cinétique initiale $\frac{1}{2}Mv^2$. Après émission dans le gaz d'une excitation de vecteur d'onde $\mathbf{q}$ et d'énergie $\epsilon_{\mathbf{q}}$, sa vitesse vaut $\mathbf{v} - \hbar\mathbf{q}/M$, par conservation de l'impulsion, d'où

$$\hbar\mathbf{q} \cdot \mathbf{v} = \frac{\hbar^2 q^2}{2M} + \epsilon_{\mathbf{q}} \tag{3}$$

par conservation de l'énergie non perturbée. Comme $|\mathbf{q} \cdot \mathbf{v}| \leq qv$, cette condition n'est satisfaite pour aucun $\mathbf{q}$ si v est inférieure à la vitesse critique de Landau

$$v_c^L = \inf_{\mathbf{q}} v_{\mathbf{q}} \quad \text{avec} \quad v_{\mathbf{q}} = \frac{\frac{\hbar^2 q^2}{2M} + \epsilon_{\mathbf{q}}}{\hbar q} \tag{4}$$

Un calcul de v_c^L pour une particule de masse $M \to +\infty$ a été effectué dans la référence [13] avec les théories approchées de BCS et de la RPA ; il a fallu pour cela prendre en compte les deux branches d'excitation du superfluide de fermions, la branche fermionique avec bande interdite, décrivant la brisure des paires de Cooper d'atomes, et la branche bosonique sans bande interdite mais de départ phononique en $\mathbf{q} = \mathbf{0}$, décrivant la mise en mouvement des paires. On obtient ainsi [13]

$$v_c^L(\alpha = 0) = \min(\{[(\mu^2 + \Delta^2)^{1/2} - \mu]/m\}^{1/2}, c) \tag{5}$$

où c est la vitesse du son dans le superfluide de fermions de potentiel chimique μ et de gap Δ, et l'on note le rapport de masse d'un fermion et de l'impureté

$$\alpha = \frac{m}{M} \tag{6}$$

1. Ce couplage peut être un couplage effectif : pour un objet quasi ponctuel, il est proportionnel à sa longueur de diffusion dans l'onde s avec les atomes du gaz.

Le fait que la vitesse critique soit non nulle pour $M \to +\infty$ semble contredire le raisonnement qui suit l'équation (2), l'effet d'un objet de masse infinie sur le superfluide pouvant être assimilé à celui d'un potentiel extérieur défilant à vitesse constante : on devrait donc avoir $v_c \leq 2\pi\hbar/(mL) \to 0$ à la limite thermodynamique. C'est bien la notion (subtile) de métastabilité qui permet alors de donner un sens au raisonnement de Landau et de croire à la vitesse critique prédite v_c^L pour des temps assez courts : lorsque $v < v_c^L$, le premier pas vers la dissipation est bloqué par une barrière d'énergie, mais rien n'empêche que le système puisse franchir cette barrière aux temps longs par des processus d'ordre arbitrairement élevé en le couplage gaz-objet, correspondant à une énergie d'excitation $\epsilon_{\mathbf{q}}$ bien différente de celle des excitations élémentaires de l'équation (4). Ainsi, le processus improbable d'ordre N mettant en mouvement l'ensemble du gaz à la vitesse $2\pi\hbar/(mL)$ selon Ox, par translation en impulsion de chacun de ses atomes de $2\pi\hbar/L$ selon cette direction, correspond à $q = 2\pi N/L$ et $\epsilon_{\mathbf{q}} = N(2\pi\hbar)^2/(2mL^2)$, donc à une vitesse critique $v_{\mathbf{q}} = 2\pi\hbar/(2mL)$ qui s'annule bien à la limite thermodynamique[2] pourvu que M reste $\gg Nm$.[3]

L'objectif du présent travail est d'étendre les calculs de la référence [13] au cas d'une masse M finie. Il y a pour cela une très forte motivation expérimentale : la prédiction de Landau pour la vitesse critique d'une impureté atomique dans un condensat de Bose-Einstein a été confirmée au MIT [16], et pourrait bientôt être mesurée dans un superfluide de fermions, grâce au mélange de bosons et de fermions superfluides récemment obtenu à l'ENS [17]. Le calcul de v_c^L pour une particule de masse M est effectué ici en trois étapes : on détermine successivement la vitesse critique $v_{c,f}^L$ due à la branche d'excitation fermionique de BCS dans la section 2, celle $v_{c,b}^L$ due à la branche bosonique de la RPA dans la section 3, la plus petite des deux vitesses donnant finalement v_c^L dans la section 4. Comme la référence [17] met en mouvement dans le superfluide de fermions un condensat de Bose-Einstein plutôt qu'une impureté seule, il convient de modifier la formule de Landau (4) pour prendre en compte l'effet des interactions entre les impuretés, ce qui est fait dans la section 5. Nous concluons dans la section 6.

2. Vitesse critique sur la branche fermionique

On pourrait croire naïvement que la vitesse critique $v_{c,f}^L$ associée à la branche d'excitation fermionique du superfluide se déduit de l'expression générale (4) en prenant pour $\mathbf{k} \mapsto \epsilon_{\mathbf{k}}$ la relation de dispersion correspondante $\mathbf{k} \mapsto \epsilon_{f,\mathbf{k}}$ des quasi-particules fermioniques. Cependant, ce serait à tort, car ce serait faire fi des contraintes imposées par la conservation du nombre total de fermions. En réalité, l'impureté de masse M ne peut, par interaction avec le superfluide initialement dans le vide de quasi-particules, faire apparaître qu'un nombre *pair* d'excitations fermioniques. Ceci est particulièrement clair dans le cadre de la théorie de BCS : l'écriture en seconde quantification du Hamiltonien d'interaction à deux corps entre l'impureté et les fermions fait apparaître les champs fermioniques $\hat{\psi}_\sigma(\mathbf{r})$, $\sigma = \pm 1/2$, seulement *via* des termes quadratiques de la forme $\hat{\psi}_\sigma^\dagger \hat{\psi}_{\sigma'}$; or chaque $\hat{\psi}_\sigma(\mathbf{r})$ est une combinaison linéaire d'opérateurs d'annihilation $\hat{b}_{\mathbf{k}\sigma}$ et de création $\hat{b}_{\mathbf{k}-\sigma}^\dagger$ de quasi-particules, qui changent la parité de leur nombre. Dans le raisonnement à la Landau, il faut donc supposer que l'impureté crée au minimum *deux* quasi-particules fermioniques, de vecteurs d'onde $\mathbf{k}_1$ et $\mathbf{k}_2$. L'impureté subit alors un changement d'impulsion de $-\hbar(\mathbf{k}_1 + \mathbf{k}_2)$ et acquiert une énergie de recul de

2. Il est plus habituel d'invoquer comme excitation macroscopique la création par l'objet en mouvement d'un anneau de vorticité de rayon R dans le gaz, d'énergie d'excitation en $R \ln R$ et d'impulsion en R^2 [14]. Lorsque R est de l'ordre du diamètre du gaz, on aboutit cependant aux mêmes lois d'échelle en N et L pour q, $\epsilon_{\mathbf{q}}$ et $v_{\mathbf{q}}$, à un facteur $\ln L$ près dans $\epsilon_{\mathbf{q}}$. Quand l'objet est une particule quasi ponctuelle faiblement couplée au superfluide, l'émission d'un anneau de vorticité reste de toute façon improbable aux vitesses inférieures à v_c^L [12].

3. Pour une masse M *finie* et un couplage répulsif suffisamment faible entre l'impureté et le superfluide, il a été montré récemment qu'il existe une véritable vitesse critique v_c *non nulle* à la limite thermodynamique, sans considération de métastabilité donc même pour un temps d'interaction arbitrairement long entre l'impureté et le superfluide [15]. Lorsque le couplage tend vers zéro, v_c est obtenue en incluant dans (4) toutes les excitations possibles du superfluide, et pas seulement le nombre minimal d'excitations élémentaires comme il sera fait ici. Pour l'anneau de vorticité de la note précédente, on trouve alors, après minimisation de $v_{\mathbf{q}}$ sur le rayon de l'anneau, que v_c tend vers zéro en $(\ln M)^{2/3}/M^{1/3}$ lorsque $M \to +\infty$.

$\hbar^2(\mathbf{k}_1+\mathbf{k}_2)^2/(2M)$, ce qui conduit à la vitesse critique [4]

$$v_{c,f}^L = \inf_{\mathbf{k}_1,\mathbf{k}_2} \frac{\frac{\hbar^2(\mathbf{k}_1+\mathbf{k}_2)^2}{2M} + \epsilon_{f,\mathbf{k}_1} + \epsilon_{f,\mathbf{k}_2}}{\hbar|\mathbf{k}_1+\mathbf{k}_2|} \tag{7}$$

Comme rien n'empêche d'effectuer la minimisation (sur $\mathbf{k}_1$ et $\mathbf{k}_2$) d'abord sur $\mathbf{k}_1$ à $\mathbf{q} = \mathbf{k}_1 + \mathbf{k}_2$ fixé, puis sur $\mathbf{q}$, on peut se ramener à une écriture plus opérationnelle et formellement équivalente à celle de l'équation (4) :

$$v_{c,f}^L = \inf_{\mathbf{q}} v_{f,\mathbf{q}} \text{ avec } v_{f,\mathbf{q}} = \frac{\frac{\hbar^2 q^2}{2M} + \epsilon_{f,\mathbf{q}}^{\text{eff}}}{\hbar q}, \tag{8}$$

où $\epsilon_{f,\mathbf{q}}^{\text{eff}}$ est le bord inférieur du continuum à deux quasi-particules fermioniques au vecteur d'onde total fixé $\mathbf{q}$:

$$\epsilon_{f,\mathbf{q}}^{\text{eff}} \equiv \inf_{\mathbf{k}_1} (\epsilon_{f,\mathbf{k}_1} + \epsilon_{f,\mathbf{k}_2=\mathbf{q}-\mathbf{k}_1}) \tag{9}$$

Comme la relation de dispersion $\mathbf{k} \mapsto \epsilon_{f,\mathbf{k}}$ est une fonction lisse du vecteur d'onde divergente à l'infini, la borne inférieure dans l'équation (9) est atteinte en un point de stationnarité, c'est-à-dire de gradient nul par rapport à $\mathbf{k}_1$, de la fonction à minimiser. Comme la relation de dispersion est de plus isotrope,

$$\epsilon_{f,\mathbf{k}} = \epsilon_f(k), \tag{10}$$

le gradient est nul si et seulement si

$$\epsilon_f'(k_1)\hat{\mathbf{k}}_1 = \epsilon_f'(k_2)\hat{\mathbf{k}}_2 \tag{11}$$

avec $\hat{\mathbf{k}}_i$ la direction $\mathbf{k}_i/k_i$ du vecteur $\mathbf{k}_i$, $\epsilon_f'(k)$ la dérivée de la fonction $\epsilon_f(k)$, et où l'on a toujours $\mathbf{k}_2 = \mathbf{q} - \mathbf{k}_1$. Il y a donc en général quatre branches de stationnarité possibles :

$$\text{(i)} : \mathbf{k}_1 = \mathbf{k}_2 = \mathbf{q}/2, \quad \text{(ii)} : \hat{\mathbf{k}}_1 = \hat{\mathbf{k}}_2, k_1 \neq k_2, \quad \text{(iii)} : \hat{\mathbf{k}}_1 = -\hat{\mathbf{k}}_2, \quad \text{(iv)} : \epsilon_f'(k_1) = \epsilon_f'(k_2) = 0 \tag{12}$$

Dans les deux cas intermédiaires, les dérivées $\epsilon_f'(k_1)$ et $\epsilon_f'(k_2)$ sont, bien entendu, respectivement égales et opposées.

Particularisons cette discussion au cas de la théorie de BCS, de relation de dispersion

$$\epsilon_{f,\mathbf{k}} = \epsilon_f(k) = \left[\left(\frac{\hbar^2 k^2}{2m} - \mu\right)^2 + \Delta^2\right]^{1/2} \tag{13}$$

Pour un potentiel chimique $\mu > 0$, elle présente une forme de chapeau mexicain, donc un caractère fermionique bien affirmé, avec une bande interdite de largeur le gap Δ. La fonction $\epsilon_f(k)$ est alors concave décroissante jusqu'au point d'inflexion k_{inflex}, puis convexe décroissante jusqu'à la position $k_{\min}$ de son minimum,

$$k_{\min} = \frac{(2m\mu)^{1/2}}{\hbar} \tag{14}$$

et enfin convexe croissante au-delà. Les quatre branches de stationnarité peuvent alors être réalisées. Contrairement à la branche (i), les autres branches n'existent que pour $q = |\mathbf{k}_1 + \mathbf{k}_2|$ assez faible. Pour explorer la branche (ii), on peut se limiter à $k_1 \in [0, k_{\text{inflex}}]$ et $k_2 \in [k_{\text{inflex}}, k_{\min}]$, et l'on trouve que $q = k_1 + k_2$ décrit $[k_{\min}, 2k_{\text{inflex}}]$; de même, pour la

4. Dans le cas d'un objet en mouvement de masse infinie, on trouve pourtant dans la littérature la formule habituelle $v_{c,f}^{\text{hab}} = \inf_q \epsilon_f(q)/(\hbar q)$ [13], avec $\epsilon_f(q) = \epsilon_{f,\mathbf{q}}$, ce qui semble relever de l'erreur naïve susmentionnée. En réalité, notre équation (7) redonne bien $v_{c,f}^{\text{hab}}$ lorsque $M \to +\infty$. D'une part, $\lim_{M\to+\infty} v_{c,f}^L \leq v_{c,f}^{\text{hab}}$ puisque dans l'équation (7) apparaissent en particulier les configurations $\mathbf{k}_1 = \mathbf{k}_2$. D'autre part, la minimisation sur les directions de $\mathbf{k}_1$ et $\mathbf{k}_2$ à modules fixés est immédiate lorsque $M = +\infty$, il faut prendre les vecteurs d'onde colinéaires et de même sens, et il reste $\lim_{M\to+\infty} v_{c,f}^L = \inf_{k_1,k_2} \frac{\epsilon_f(k_1)+\epsilon_f(k_2)}{\hbar(k_1+k_2)}$, qui est $\geq v_{c,f}^{\text{hab}}$ puisque $\epsilon_f(k_i) \geq \hbar k_i v_{c,f}^{\text{hab}}$ pour tout k_i.

branche (iii), on peut prendre $0 \le k_1 \le k_{\rm min} \le k_2$, et l'on trouve que $q = k_2 - k_1$ décrit $[0, k_{\rm min}]$. [5] Finalement, la branche (iv) correspond simplement à $k_1 = k_2 = k_{\rm min}$, et à q variant de 0 à $2k_{\rm min}$. Sur son domaine d'existence, la branche (iv) est clairement celle d'énergie minimale, puisque les vecteurs d'onde $\mathbf{k}_1$ et $\mathbf{k}_2$ des deux quasi-particules sont au fond de la rigole du chapeau mexicain. Au-delà, les branches (ii) et (iii) n'existent plus donc l'énergie minimale est obtenue sur la branche (i). Cette discussion est illustrée sur la figure 1. Nous retenons donc, pour $\mu > 0$,

$$\epsilon_f^{\rm eff}(q) \underset{\text{branche (iv)}}{\overset{q\le 2k_{\rm min}}{=}} 2\Delta, \qquad\qquad \epsilon_f^{\rm eff}(q) \underset{\text{branche (i)}}{\overset{q\ge 2k_{\rm min}}{=}} 2\epsilon_f(q/2) \tag{15}$$

en accord avec la référence [13]. Pour un potentiel chimique $\mu < 0$, lorsque les paires de Cooper d'atomes tendent à se bosoniser, la relation de dipersion (13) est une fonction convexe, avec une bande interdite de largeur $(\Delta^2 + \mu^2)^{1/2}$. Comme $\epsilon_f(k)$ est alors strictement croissante pour $k > 0$, seule la branche (i) est réalisée.

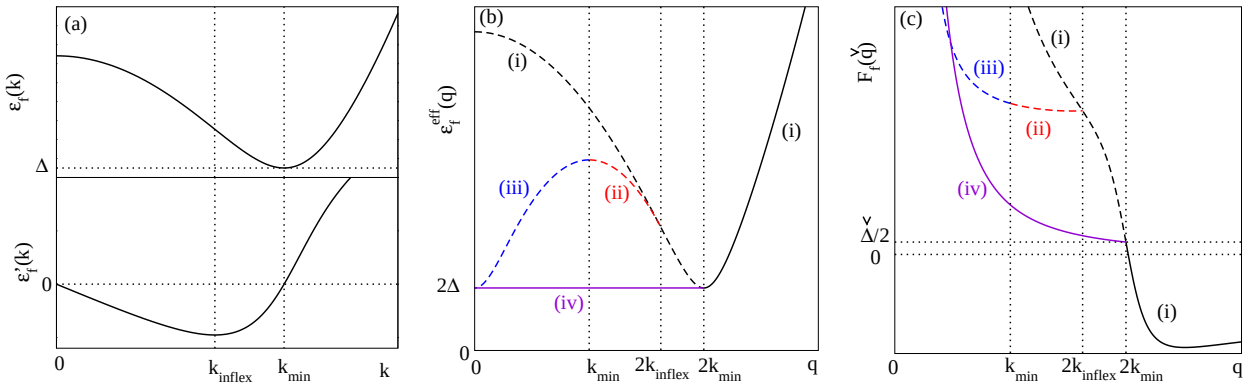

FIGURE 1: Pour la branche d'excitation fermionique de la théorie de BCS à potentiel chimique $\mu > 0$, (a) relation de dispersion $\epsilon_f(k)$ et sa dérivée première $\epsilon'_f(k)$, utiles à la discussion des branches de stationnarité (12) ; (b) les branches en question en fonction de q, en trait plein si d'énergie minimale, en tireté sinon ; (c) fonction $F_f(\check{q})$ permettant de minimiser $v_f(q)$ par discussion graphique, voir l'équation (16). Les quantités sur l'axe vertical de (c) sont adimensionnées comme il est précisé dans le texte.

Pour obtenir la contribution de la branche fermionique de BCS à la vitesse critique de Landau, il reste à minimiser la fonction $v_{f,\mathbf{q}} = v_f(q)$ dans l'équation (8). Comme cette fonction dérivable diverge en $q = 0$ et en $q = \infty$, elle atteint son minimum avec une dérivée nulle en un point q_0, $v'_f(q_0) = 0$. On adimensionne le problème, en exprimant les nombres d'onde q et q_0 en unités de $(2m|\mu|)^{1/2}/\hbar$ (c'est-à-dire $k_{\rm min}$ si $\mu > 0$), les énergies $\epsilon_f^{\rm eff}$ et Δ en unités de $|\mu|$ et les vitesses $v_f(q)$ et $v^L_{c,f}$ en unités de $[|\mu|/(2m)]^{1/2}$, ce qui conduit à $\check{v}_f(\check{q}) = \alpha\check{q} + \frac{\check{\epsilon}_f^{\rm eff}(\check{q})}{\check{q}}$ et à la jolie équation implicite

$$\alpha = F_f(\check{q}_0) \;\text{ avec }\; F_f(\check{q}) = \frac{\mathrm{d}}{\mathrm{d}\check{q}}\left(-\frac{\check{\epsilon}_f^{\rm eff}(\check{q})}{\check{q}}\right) \;\text{ et }\; \check{v}^L_{c,f} = \alpha\check{q}_0 + \frac{\check{\epsilon}_f^{\rm eff}(\check{q}_0)}{\check{q}_0} \tag{16}$$

Ici, le symbole suscrit repère les variables sans dimension et le rapport de masse α est donné par l'équation (6). Une discussion graphique de l'équation (16) est facile à effectuer. Dans le cas le plus riche $\mu > 0$, les différentes branches de la fonction F_f, correspondant aux branches (12) de la fonction $\epsilon_f^{\rm eff}$, sont représentées sur la figure 1c ; seules les lignes en trait plein sont à prendre en compte, puiqu'elles correspondent aux branches d'énergie minimale. On voit donc que, pour $\alpha > \check{\Delta}/2$, la vitesse critique est réalisée sur la branche (iv), avec $\check{q}_0 = (2\check{\Delta}/\alpha)^{1/2}$ et

$$\check{v}^L_{c,f} \underset{\text{branche (iv)}}{\overset{\alpha>\check{\Delta}/2}{=}} 2(2\check{\Delta}\alpha)^{1/2} \tag{17}$$

5. Ceci résulte du fait que $k_1 + k_2$ pour (ii) et $k_1 - k_2$ pour (iii) sont des fonctions croissantes de k_1. Les branches (ii) et (iii) se raccordent de façon lisse (C^∞) en $q = k_{\rm min}$, comme on peut le voir en introduisant la quantité algébrique $\bar{k}_1 \in [-k_{\rm min}, k_{\rm inflex}]$ et l'extension correspondante $\phi(\bar{k}_1) = \epsilon_{f,\bar{k}_1\hat{\mathbf{k}}_1}$ de $\epsilon_f(k_1)$ aux arguments négatifs. L'unique solution $k_2 \ge k_{\rm inflex}$ de $\phi'(k_2) = \phi'(\bar{k}_1)$ permet alors un paramétrage lisse $q = \bar{k}_1 + k_2(\bar{k}_1)$ de l'ensemble (ii) plus (iii). En revanche, (i) et (ii), ainsi que (iv) et (i), se raccordent de façon C^1 seulement : en $q = 2k_{\rm inflex}$, la dérivée seconde est nulle sur (i) et vaut $-3[\epsilon_f^{(3)}(k_{\rm inflex})]^2/[2\epsilon_f^{(4)}(k_{\rm inflex})] < 0$ sur (ii) ; en $q = 2k_{\rm min}$, la dérivée seconde est nulle sur (iv) et vaut $\epsilon''_f(k_{\rm min})/2 > 0$ sur (i).

Pour $\alpha < \check{\Delta}/2$, elle est réalisée sur la branche (i), et correspond à la plus grande des racines réelles de l'équation polynômiale de degré quatre en $\check{v}^2$, en principe exprimable par radicaux [6] :

$$\check{v}^8 + 8(1-\alpha^2)\check{v}^6 + \check{v}^4[\check{\Delta}^2(16\alpha^4 - 80\alpha^2 - 8) + 16\alpha^4 - 128\alpha^2 + 16] \\ + \check{v}^2[32\check{\Delta}^2(4\alpha^2-1)(5\alpha^2+1) + 128\alpha^2(5\alpha^2-1)] - 16(4\alpha^2-1)[4\alpha^2(1+\check{\Delta}^2) - \check{\Delta}^2]^2 = 0 \quad (18)$$

À la limite $\alpha \to 0$ d'une impureté de masse infinie, on retrouve le premier terme du second membre de l'équation (5), qui provient effectivement de la branche d'excitation fermionique [13]. Il reste à caractériser la nature de la transition lorsque, par variation continue du rapport de masse α ou du gap réduit $\check{\Delta}$ (c'est-à-dire par variation des interactions dans le gaz de fermions), la vitesse critique $v^L_{c,f}$ passe de la branche (iv) à la branche (i). Comme on le voit bien par discussion graphique, $\check{q}_0$ est continu à la transition donc $\check{v}^L_{c,f}$ aussi. Or, en dérivant une fois la troisième équation de (16) par rapport à α à $\check{\Delta}$ fixé, on trouve, compte tenu de la première équation de (16), que la dérivée première de $\check{v}^L_{c,f}$ est également continue :

$$\frac{\mathrm{d}}{\mathrm{d}\alpha}\check{v}^L_{c,f} = \check{q}_0 \quad (19)$$

C'est donc la dérivée seconde de $\check{v}^L_{c,f}$ qui doit être discontinue : en dérivant (19) et la première équation de (16) par rapport à α, ainsi que la fonction F_f sur les branches (iv) et (i), on obtient

$$\left[\frac{\mathrm{d}^2}{\mathrm{d}\alpha^2}\check{v}^L_{c,f}\left(\alpha = \frac{\check{\Delta}^+}{2}\right)\right]^{-1} - \left[\frac{\mathrm{d}^2}{\mathrm{d}\alpha^2}\check{v}^L_{c,f}\left(\alpha = \frac{\check{\Delta}^-}{2}\right)\right]^{-1} = \frac{1}{4}\check{\epsilon}''_f(\check{k}=1) = \frac{1}{\check{\Delta}} \quad (20)$$

si bien que la vitesse critique $\check{v}^L_{c,f}$ présente une transition du *second* ordre sur la ligne $\alpha = \check{\Delta}/2$, voir la figure 3a. Dans le cas moins riche d'un potentiel chimique $\mu < 0$, $v^L_{c,f}$ est toujours réalisée sur la branche (i) et ne peut présenter aucune transition.

3. Vitesse critique sur la branche bosonique

La conservation du nombre de fermions n'empêche bien entendu pas l'impureté, en se déplaçant dans le superfluide, d'y créer un seul quantum sur sa branche d'excitation bosonique, puisqu'il s'agit d'une mise en mouvement collective, de type onde sonore, des paires de Cooper d'atomes. La vitesse critique associée à la branche bosonique est donc donnée comme dans l'équation (4) par

$$v^L_{c,b} = \inf_{\mathbf{q}\in\mathcal{D}} v_{b,\mathbf{q}} \quad \text{avec} \quad v_{b,\mathbf{q}} = \frac{\frac{\hbar^2 q^2}{2M} + \epsilon_{b,\mathbf{q}}}{\hbar q} \quad (21)$$

La relation de dispersion des quasi-particules bosoniques $\mathbf{q} \mapsto \epsilon_{b,\mathbf{q}} = \epsilon_b(q)$ est cependant plus difficile à cerner que celle des quasi-particules fermioniques. Son domaine d'existence $\mathcal{D}$ dans l'espace des vecteurs d'onde, sur lequel il faut minimiser $v_{b,\mathbf{q}} = v_b(q)$ dans l'équation (21), est lui-même délicat à déterminer. Comme l'a montré la référence [13], il n'est pas nécessairement compact ni connexe. On sait seulement de manière générale, grâce à l'hydrodynamique des superfluides, que la branche atteint la limite des faibles nombres d'onde $q \to 0$ de manière linéaire en q,

$$\epsilon_b(q) \underset{q\to 0}{\sim} \hbar c q, \quad (22)$$

le coefficient c n'étant autre que la vitesse du son dans le superfluide de fermions, déductible de l'équation d'état du gaz par l'expression bien connue $mc^2 = \rho\frac{\mathrm{d}\mu}{\mathrm{d}\rho}$. On sait aussi que $\epsilon_b(q)$ doit être inférieur au bord $\epsilon_f^{\mathrm{eff}}(q)$ du continuum à deux excitations fermioniques au vecteur d'onde total $\mathbf{q}$ considéré. Sinon, le mouvement collectif des paires s'amortirait car son énergie, définie comme un pôle du facteur de structure dynamique, deviendrait complexe [18].

6. Après des regroupements astucieux de termes et des élévations au carré dans les deux équations extrêmes de (16), on est ramené à deux équations polynômiales sur $\check{q}_0$. $\check{v}$ doit en annuler le résultant, dont le polynôme en $\check{v}$ de l'équation (18) est un diviseur.

$1/(k_F a)$	Δ/μ	$\mathcal{D}$	forme de $\epsilon_b(q)$
$> 0{,}161$	$> 1{,}729$ ou < 0	$[0, +\infty[$	convexe
$\in]0; 0{,}161[$	$\in]1{,}162; 1{,}729[$	$[0, q_{\rm sup}] \cup [q_{\rm inf}, +\infty[$	convexe si $\Delta/\mu > 1{,}71$
< 0	$\in]0; 1{,}162[$	$[0, q_{\rm sup}]$	concave si $\Delta/\mu < 0{,}88$

TABLE 1: Domaine d'existence $\mathcal{D}$ de la branche d'excitation bosonique du superfluide, plus précisement ensemble de ses nombres d'onde q possibles, d'après la RPA de la référence [13], et (de notre cru) convexité de la relation de dispersion $q \mapsto \epsilon_b(q)$. La perte de convexité (de concavité) est due à l'apparition d'une partie concave (convexe) aux grands (faibles) nombres d'onde q. Sur la composante $[q_{\rm inf}, +\infty[$ lorsqu'elle existe, il y a toujours convexité. En $q = q_{\rm sup}$ et $q = q_{\rm inf}$, la branche bosonique rejoint le continuum à deux excitations fermioniques au nombre d'onde total considéré, c'est-à-dire que $\epsilon_b(q) = \epsilon_f^{\rm eff}(q)$. Un résultat important de la référence [13] est qu'on a toujours $q_{\rm sup} > 2k_{\rm min}$ défini dans l'équation (14). Le paramètre $1/(k_F a)$ plus habituellement utilisé que Δ/μ pour mesurer la force des interactions, voir le texte, est déduit ici de l'équation d'état de BCS [13]. $1/(k_F a) = 0$ est la limite unitaire, atteinte en $\Delta/\mu = 1{,}162\ldots$, et $\mu < 0$ si et seulement si $1/(k_F a) > 0{,}553\ldots$. On notera le paradoxe de notation $q_{\rm sup} < q_{\rm inf}$.

On peut obtenir numériquement $\epsilon_b(q)$ à un ordre d'approximation compatible avec la théorie de BCS utilisée dans la section 2 grâce à la RPA [19], mise en œuvre de façon très fouillée dans la référence [13], non seulement dans le régime d'interaction faible [18] mais pour des interactions arbitrairement fortes au sein du superfluide [7] [8]. Les résultats correspondants sur le domaine d'existence sont résumés dans la table 1 ; y est introduit, en sus de Δ/μ, l'habituel paramétrage des interactions par $1/(k_F a)$, où a est la longueur de diffusion dans l'onde s entre deux fermions de spins opposés et $k_F = (3\pi^2\rho)^{1/3}$ est le nombre d'onde de Fermi du gaz parfait non polarisé de spin $1/2$ de même densité totale ρ que le superfluide. Il reste à minimiser la fonction $v_b(q)$ sur le domaine d'existence $\mathcal{D}$, en en distinguant les différentes formes.

Lorsque la branche bosonique existe à tout nombre d'onde, par exemple pour $\mu < 0$, il se trouve que la relation de dispersion $q \mapsto \epsilon_b(q)$ est convexe donc toujours au-dessus de sa tangente en l'origine. Alors $\epsilon_b(q) \geq \hbar c q$ pour tout q, le minimum absolu de $v_b(q)$ est atteint en $q = 0$ et $v_{c,b}^L = c$. Dans la suite de la discussion, on peut donc se restreindre au cas $\mu > 0$.

La minimisation de $v_b(q)$ sur la seconde composante connexe de $\mathcal{D}$, à savoir $q \in [q_{\rm inf}, +\infty[$, lorsqu'elle existe, est également assez simple. On trouve que l'énergie $\epsilon_b(q)$ y est « collée au plafond », c'est-à-dire partout extrêmement proche de $\epsilon_f^{\rm eff}(q)$; comme $q_{\rm inf}$ est toujours supérieur au point d'annulation de $F_f(\check{q})$ [voir la figure 1c], les trois fonctions $q \mapsto \epsilon_f^{\rm eff}(q)/q$, $q \mapsto \epsilon_b(q)/q$ et $q \mapsto v_b(q)$ sont croissantes pour $q \geq q_{\rm inf}$. On vérifie alors numériquement que le minimum $v_b(q_{\rm inf})$ de $v_b(q)$ sur cette seconde composante connexe est toujours supérieur à la vitesse du son donc non pertinent.

Il reste à minimiser $v_b(q)$ sur l'intervalle d'existence $[0, q_{\rm sup}]$, ce qui peut conduire en général à trois cas de figure : le minimum absolu est (a) en $q = 0$, (b) en $q = q_{\rm sup}$ ou (c) en un point q_0 à l'intérieur de l'intervalle. Il faut d'abord étudier les minima locaux de $v_b(q)$ suivant ces trois cas, puis les comparer.

Les minima locaux : Pour progresser, nous introduisons les mêmes adimensionnement, fonction auxiliaire $F(q)$ et discussion graphique que pour la branche fermionique :

$$\check{v}_b(\check{q}) = \alpha\check{q} + \frac{\check{\epsilon}_b(\check{q})}{\check{q}} \text{ et } F_b(\check{q}) = \frac{\mathrm{d}}{\mathrm{d}\check{q}}\left(-\frac{\check{\epsilon}_b(\check{q})}{\check{q}}\right), \text{ si bien que } \frac{\mathrm{d}}{\mathrm{d}\check{q}}\check{v}_b(\check{q}) = \alpha - F_b(\check{q}) \tag{23}$$

On constate d'abord que $F_b(0) = 0$ et $\frac{\mathrm{d}}{\mathrm{d}\check{q}}\check{v}_b(0) = \alpha > 0$, donc que $v_b(q)$ a toujours un minimum en $q = 0$, car la première correction au terme linéaire dans l'équation (22) est cubique, le développement de Taylor de $[\epsilon_b(q)]^2$ ne contenant, d'après la RPA, que des puissances paires de q. Ensuite, la fonction $v_b(q)$ admet un minimum en $q = q_{\rm sup}$ à la simple condition que $\frac{\mathrm{d}}{\mathrm{d}\check{q}}\check{v}_b(\check{q}_{\rm sup}) < 0$ donc que $\alpha < F_b(\check{q}_{\rm sup})$. Enfin, $v_b(q)$ admet un minimum local en $q_0 \in]0, q_{\rm sup}[$ si

7. En pratique, nous résolvons par dichotomie une équation sur $\omega = \epsilon_b(q)/\hbar$ de la forme $f(\omega, q) = 1$, où $f = I_{11}I_{22}/(\omega^2 I_{12}^2)$ est, à q fixé, une fonction décroissante de ω tendant vers $+\infty$ en $\omega = 0$. Les intégrales doubles I_{12}, I_{11} et I_{22} sont celles (15), (16) et (17) de la référence [13]. Pour tout $q \leq 2k_{\rm min}$, $f(\omega, q) \to -\infty$ logarithmiquement lorsque $\omega \to \epsilon_f^{\rm eff}(q)^-/\hbar = 2\Delta^-/\hbar$, car $I_{11} \to +\infty$ [13] alors que $I_{22} < 0\ \forall \omega \in [0, 2\Delta/\hbar]$, ce qui assure l'existence d'une racine $\omega \in [0, 2\Delta/\hbar[$. Aussi $\mathcal{D}$ contient-il au moins tous les vecteurs d'onde de module $q \leq 2k_{\rm min}$ [13].

8. Tout comme la théorie de BCS, la RPA n'est que qualitativement correcte dans le régime d'interaction forte, et les écarts au spectre de la RPA peuvent être mesurés sur les modes collectifs d'excitation [20].

sa dérivée première s'annule en q_0 et si sa dérivée seconde y est positive. Graphiquement, ceci signifie que $\check{q} \mapsto F_b(\check{q})$ croise la droite horizontale d'ordonnée α à l'intérieur de l'intervalle avec une dérivée négative, c'est-à-dire *de haut en bas.* Pour que ce soit possible pour une certaine valeur de α, il faut et il suffit que la fonction continue $F_b(\check{q})$ admette un maximum strictement positif sur $]0, q_{\rm sup}[$, comme sur la figure 2.

Le minimum global $v^L_{c,b}$ *:* Les valeurs $v_b(0) = c$ et $v_b(q_{\rm sup})$ peuvent être comparées directement, après calcul numérique de c et $q_{\rm sup}$, puisque $\epsilon_b(q)$ et $\epsilon_f^{\rm eff}(q)$ (connu analytiquement) coïncident en $q_{\rm sup}$. Lorsqu'il existe, le minimum local de $v_b(q)$ en $q_0 \in]0, q_{\rm sup}[$ est en pratique inférieur à $v_b(q_{\rm sup})$, puisque $F_b(\check{q})$ reste sous la droite horizontale d'ordonnée α sur l'intervalle $[\check{q}_0, \check{q}_{\rm sup}]$ si bien que $v_b(q)$ y est croissante. Il est aussi facilement comparable à la vitesse du son : par intégration de la troisième équation de (23), on trouve que

$$\check{v}_b(\check{q}_0) - \check{c} = \int_0^{\check{q}_0} {\rm d}\check{q}\,[\alpha - F_b(\check{q})] = A_+ - A_- \tag{24}$$

où A_+ et A_- sont les aires (comptées positivement) des zones délimitées par le graphe de $F_b(\check{q})$ et la droite horizontale d'ordonnée α, respectivement en dessous et au-dessus de cette droite, lorsque $\check{q}$ décrit $[0, \check{q}_0]$. Ce sont les zones hachurées sur la figure 2b, réalisée dans le cas particulier $A_+ = A_-$, c'est-à-dire pour la valeur $q_0^{\rm min}$ de q_0 en dessous de laquelle $v_b(q_0)$ cesse d'être inférieure strictement à c.

Le résultat de la minimisation globale est indiqué sur la figure 3b. La ligne de séparation entre les zones où $v^L_{c,b} = v_b(q_{\rm sup})$ et $v^L_{c,b} = v_b(q_0)$ correspond au cas limite $q_0 \to q_{\rm sup}$, c'est-à-dire à l'équation $\alpha = F_b(\check{q}_{\rm sup})$; elle conduit donc, comme le montre la généralisation de la propriété (19) sur $v^L_{c,f}$ [voir (29) et la note 9], à une transition du second ordre sur $v^L_{c,b}$, autrement dit à une discontinuité de sa dérivée seconde dans la direction normale à la ligne. Les autres lignes de séparation, sur lesquelles $c = v_b(q_0)$ ou $c = v_b(q_{\rm sup})$, conduisent à des transitions du premier ordre sur $v^L_{c,b}$, c'est-à-dire à une discontinuité de sa dérivée première, puisque la position du minimum de $v_b(q)$ saute de 0 à $q_0^{\rm min} > 0$ ou à $q_{\rm sup}$. On notera l'existence d'un point triple à la confluence des trois zones.

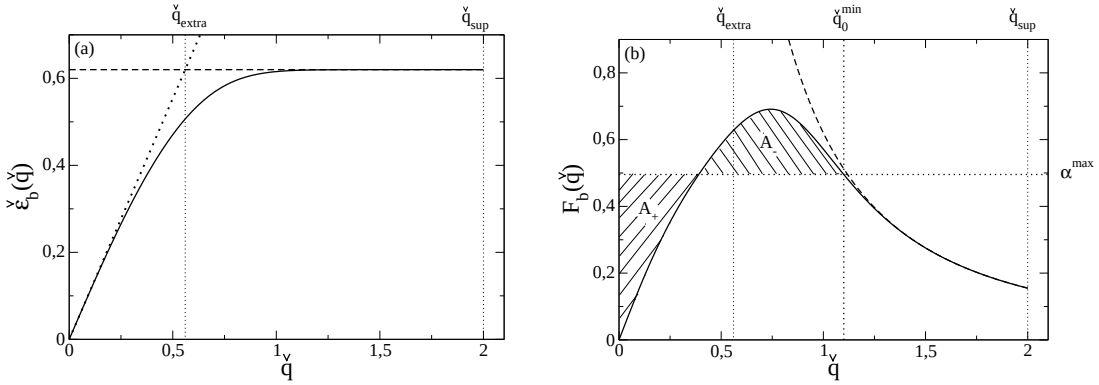

FIGURE 2: Pour la valeur $\Delta/\mu = 0{,}31$ choisie à titre d'exemple : (a) relation de dispersion adimensionnée $\check{\epsilon}_b(\check{q})$ de la branche bosonique (trait plein), de départ phononique (gros pointillé) mais plafonnée par le bord du continuum à deux excitations fermioniques $\check{\epsilon}_f^{\rm eff}(\check{q})$ au vecteur d'onde total considéré (tireté), et (b) fonction $F_b(\check{q})$ auxiliaire de discussion graphique pour la minimisation de $v_b(q)$. Ici, la branche bosonique existe seulement sur l'intervalle compact $[0, q_{\rm sup}]$ et $v_b(q)$ admet un minimum local en q_0 à l'intérieur de l'intervalle si et seulement si le rapport de masse α est compris strictement entre les valeurs $F_b(\check{q}_{\rm sup})$ et $\sup_{\check{q}} F_b(\check{q})$. Le tireté en (b) correspond à l'approximation $F_b(\check{q}) \simeq F_f^{\rm (iv)}(\check{q}) = 2\check{\Delta}/\check{q}^2$; elle est légitime assez près de $q = q_{\rm sup}$ et lorsque $\check{\Delta}$ est assez faible. C'est bien le cas ici, même pour la valeur minimale $\check{q}_0^{\rm min}$ de $\check{q}_0$ (c'est-à-dire la valeur maximale $\alpha^{\rm max}$ de α) accessible dans la zone B_{q_0} de la figure 3b à $\check{\Delta}$ fixé, donc telle que $A_+ = A_-$ dans l'équation (24).

4. Synthèse : vitesse critique globale de la particule

La vitesse critique globale de Landau pour une particule en mouvement dans le superfluide est donnée par la plus petite des deux vitesses $v^L_{c,f}$ et $v^L_{c,b}$ des sections précédentes. Pour $\mu < 0$ ou $\Delta/\mu > 1{,}729$, on a toujours $v^L_{c,b} = c < v^L_{c,f}$,

si bien que v_c^L, identiquement égale à la vitesse du son, est d'origine bosonique. En effet, comme le montre la table 1, la branche d'excitation bosonique existe alors pour tout q, avec une énergie $\epsilon_b(q)$ partout $< \epsilon_f^{\rm eff}(q)$, si bien que $v_b(q) < v_f(q)$ et $v_{c,b}^L < v_{c,f}^L$ dans les équations (8) et (21) ; de plus, la convexité de $q \mapsto \epsilon_b(q)$ impose $v_{c,b}^L = c$, voir la section 3. Pour $\mu > 0$ et $\Delta/\mu < 1{,}729$, le diagramme dans le plan $(\Delta/\mu, \alpha = m/M)$ de la figure 4a montre que la vitesse critique est d'origine fermionique ($v_{c,f}^L < v_{c,b}^L$) dans une sorte de triangle à un côté incurvé ; la base du triangle repose sur l'axe $\alpha = 0$, où l'impureté est de masse infinie, et a bien une extension maximale donnée par le point de croisement $\Delta/\mu \simeq 1{,}38$ des deux termes au second membre de (5). La vitesse critique est partout ailleurs d'origine bosonique. On peut d'ailleurs comprendre simplement pourquoi c'est nécessairement le cas à droite de ce point de croisement : $v_f(q)$ et donc $v_{c,f}^L$ dans l'équation (8) sont des fonctions croissantes de $1/M$, c'est-à-dire de α après adimensionnement ; comme $v_{c,f}^L(\alpha = 0) > c$ dès que $\Delta/\mu \gtrsim 1{,}38$ d'après (5), on a bien également $v_{c,f}^L(\alpha) > c$ pour tout $\alpha > 0$.

Il reste à voir dans quelle mesure la ou les lignes de transition prédites sur $v_{c,f}^L$ et $v_{c,b}^L$, voir la figure 3, subsistent sur la vitesse critique globale v_c^L, ou sont au contraires masquées parce que la vitesse critique issue de la branche d'excitation concurrente est plus faible. Nous avons représenté la ligne de transition de $v_{c,f}^L$ [entre les branches de stationnarité (i) et (iv)], $\alpha = \check{\Delta}/2$, par un tireté vert sur la figure 4a. La portion correspondant à $\check{\Delta} > 0{,}55$ est entièrement masquée par la vitesse critique bosonique et est donc omise ; mais, de façon remarquable et peut-être inattendue, la portion correspondant à $\check{\Delta} < 0{,}55$ est indiscernable, à la résolution de la figure, de la frontière entre le domaine bosonique et le domaine fermionique ! De même, nous avons représenté les lignes de transition de $v_{c,b}^L$ [suivant que $v_b(q)$ soit minimale en $q = 0$, $q = q_{\rm sup}$ ou strictement entre ces deux valeurs] par un trait noir, plein ou tireté selon que la transition est du premier ou du second ordre. Deux autres faits remarquables apparaissent. D'une part, le tireté noir est en pratique indiscernable du tireté vert, et donc aussi de la frontière entre les domaines bosonique et fermionique. D'autre part, la portion de trait plein de $\check{\Delta} > 0{,}55$ semble coïncider fort bien avec une autre partie de cette frontière. Finalement, la portion de trait plein aux abscisses $\check{\Delta} < 0{,}55$ est immergée dans le domaine bosonique, qu'elle partage en deux sous-domaines B_1 et B_2 séparés par une transition du premier ordre sur v_c^L. Nous allons maintenant énoncer quelques faits simples permettant de comprendre une partie de ces constatations.

Des zones d'origine prévisible : Le domaine $B_{q_{\rm sup}}$ où $v_{c,b}^L = v_b(q_{\rm sup})$ conduit nécessairement à $v_{c,b}^L \geq v_{c,f}^L$ donc est, dans le diagramme final sur v_c^L, entièrement masqué par la vitesse critique issue de la branche d'excitation fermionique. En effet, en $q = q_{\rm sup}$, la branche d'excitation bosonique rejoint le « plafond » $\epsilon_f^{\rm eff}(q)$ à deux excitations fermioniques, donc $v_b(q_{\rm sup}) = v_f(q_{\rm sup}) \geq \inf_q v_f(q) = v_{c,f}^L$. On en déduit que la frontière entre B_1 et F est *au-dessus* de la ligne de transition entre les zones B_{q_0} [où $v_{c,b}^L = v_b(q_0)$] et $B_{q_{\rm sup}}$ [où $v_{c,b}^L = v_b(q_{\rm sup})$], c'est-à-dire au-dessus du tireté noir sur la figure 4a.

De façon symétrique, le domaine $F_{\rm (iv)}$ de $v_{c,f}^L$ correspondant à la branche de stationnarité (iv), c'est-à-dire à $\alpha > \check{\Delta}/2$, ne peut qu'être entièrement masqué par la contribution de la branche d'excitation bosonique. En effet, sur la branche (iv), le minimum de $v_f(q)$ est atteint sur l'intervalle $q \in [0, 2k_{\rm min}]$, voir la figure 1c. Or, sur cet intervalle, la branche d'excitation bosonique existe bien, puisque $q_{\rm sup} > 2k_{\rm min}$ comme l'a montré la référence [13], et y conduit à une vitesse $v_b(q)$ en tout point inférieure à la vitesse $v_f(q)$, puisqu'on a toujours $\epsilon_b(q) \leq \epsilon_f^{\rm eff}(q)$. Alors, $v_{c,b}^L$ est inéluctablement inférieure à $v_{c,f}^{\rm (iv)} = \inf_{q\in[0,2k_{\rm min}]} v_f(q)$, et la frontière entre B_1 et F est *en dessous* de la ligne de transition entre les zones $F_{\rm (iv)}$ et $F_{\rm (i)}$ sur $v_{c,f}^L$, c'est-à-dire en dessous du tireté vert sur la figure 4a.

Pour résumer, la frontière entre B_1 et F doit passer entre le plafond tireté vert, d'équation $\alpha = F_f(2) = \check{\Delta}/2$ (voir dans la section 2), et le plancher tireté noir, d'équation $\alpha = \lim_{\check{q}_0 \to \check{q}_{\rm sup}} F_b(\check{q}_0) = F_b(\check{q}_{\rm sup})$ (voir dans la section 3). Or, comme le montre le calcul numérique, la quantité $F_b(\check{q}_{\rm sup})$, considérée comme une fonction de $\check{\Delta}$, est extrêmement proche de $\check{\Delta}/2$ jusqu'à $\check{\Delta} \approx 0{,}6$, valeur au-delà de laquelle son graphe commence à s'incurver vers le bas. Ainsi, pour $\check{\Delta} < 0{,}55$, l'écart est inférieur à quatre pour mille, et $q_{\rm sup}$ y diffère d'ailleurs de $2k_{\rm min}$ de moins d'un pour mille. Aussi la frontière entre B_1 et F, le tireté vert et le tireté noir sont-ils presque confondus sur la figure 4a. Nous serons plus précis à la fin de cette section, grâce à un raisonnement analytique, et nous montrerons qu'en fait la frontière $B_1 - F$ se trouve exactement sur le tireté noir et qu'il y a égalité parfaite de deux zones du plan $(\check{\Delta}, \alpha)$:

$$B_{q_0} = B_1 \tag{25}$$

Explication de la quasi-coïncidence des tiretés à la frontière $B_1 - F$: Dans la limite $\check{\Delta} = \Delta/\mu \ll 1$, on peut comprendre physiquement comme suit pourquoi les tiretés vert et noir sont presque confondus. Le départ linéaire de $\epsilon_b(q)$ aux

faibles q, si on l'extrapole linéairement, atteint le plafond à deux excitations fermioniques $\epsilon_f^{\rm eff}(q) \simeq 2\Delta$ en un point $q_{\rm extra} \approx 2\Delta/(\hbar c) \ll 2k_{\rm min}$ puisque $c \simeq (2\mu/3m)^{1/2}$ dans cette limite. En réalité, la branche d'excitation bosonique s'infléchit autour de $q = q_{\rm extra}$ puis longe le plafond de très près jusqu'à l'atteindre en le point $q_{\rm sup}$, qui est ici extrêmement proche de $2k_{\rm min}$ ($\check{q}_{\rm sup} \simeq 2$). On peut donc s'attendre à pouvoir identifier $\epsilon_b(q)$ et $\epsilon_f^{\rm eff}(q)$, donc les fonctions $F_f(\check{q})$ et $F_b(\check{q})$, sur un voisinage assez étendu de $q_{\rm sup}$ ou de $\check{q}_{\rm sup}$ bien à droite de $q_{\rm extra}$ ou de $\check{q}_{\rm extra} \simeq 3^{1/2}\check{\Delta}$, la fonction $F_f(\check{q})$ étant assimilable à son expression $\frac{\rm d}{{\rm d}\check{q}}(-2\check{\Delta}/\check{q}) = 2\check{\Delta}/\check{q}^2$ sur la branche de stationnarité (iv), voir les équations (15) et (16). En un mot,

$$F_b(\check{q}) \simeq \frac{2\check{\Delta}}{\check{q}^2} \ \text{ pour } \ \check{\Delta} \ll \check{q} \ \text{ et } \ \check{\Delta} \ll 1 \tag{26}$$

Ces idées sont illustrées avec succès sur la figure 2. Ceci explique donc pourquoi $F_b(\check{q}_{\rm sup}) \simeq \check{\Delta}/2$ aux faibles $\check{\Delta}$. Ce qui est remarquable cependant est que, de ce point de vue, la valeur $\check{\Delta} = 0{,}55$ est déjà faible.

Quasi-coïncidence de $v^L_{c,f}$ et $v^L_{c,b}$ sur la zone B_1 : On peut se demander si l'approximation précédente (26) est bonne non seulement en $\check{q} = \check{q}_{\rm sup}$ mais aussi, dans la zone B_{q_0} de la figure 3b, en la position q_0 du minimum absolu de $v_b(q)$. À $\check{\Delta}$ fixé, il suffit de le vérifier pour la valeur minimale accessible $q_0^{\rm min}$ de q_0, correspondant à la valeur maximale de α atteinte dans cette zone et telle que $A_+ = A_-$ dans l'équation (24). On trouve par le calcul numérique que c'est bien le cas, $\check{q}_0^{\rm min}$ restant en définitive suffisamment loin à droite de la position du maximum de $F_b(\check{q})$, maximum bien sûr non décrit par (26). On en déduit le résultat remarquable que, dans la zone B_{q_0}, donc en pratique dans la zone B_1 :

$$\forall(\check{\Delta},\alpha) \in B_1, v_c^L = v_{c,b}^L \simeq v_{c,f}^L \tag{27}$$

où l'on peut utiliser l'équation (17) pour évaluer $v^L_{c,f}$.

La ligne $v^L_{c,f} = c$ est remarquable : Une fois établie la nature bosonico-fermionique de la zone B_1, c'est-à-dire la validité de l'approximation (27), il est simple d'estimer la position de la frontière entre les zones B_1 et B_2, c'est-à-dire en pratique entre la zone B_{q_0} et la zone B_0 telle que $v^L_{c,b} = c$. Il suffit pour cela de résoudre l'équation

$$v^L_{c,f} = c \tag{28}$$

Le gros pointillé noir correspondant, sur la figure 4a, tombe bien (presque) sur le trait plein noir pour $\check{\Delta} < 0{,}55$. Mieux encore, dans la partie à $\check{\Delta} > 0{,}55$, où $\alpha < \check{\Delta}/2$ et $v^L_{c,f}$ provient maintenant de la branche de stationnarité (i), il reproduit *exactement* la frontière entre les zones B_2 et F. En effet, $v_b(q_{\rm sup}) = v_f(q_{\rm sup}) \geq v^L_{c,f}$ comme nous l'avons vu, donc la zone $B_{q_{\rm sup}}$ est hors-jeu, et la transition $F - B_2$ est nécessairement une transition $F - B_0$, donnée par l'équation (28).

Une quasi-coïncidence à la frontière $B_2 - F$: En définitive, il nous reste à expliquer la quasi-coïncidence des frontières $F - B_2$ et $B_{q_{\rm sup}} - B_0$, c'est-à-dire du gros pointillé et du trait plein noirs sur la partie $\check{\Delta} > 0{,}55$ de la figure 4a. Cette quasi-coïncidence est cependant plus approximative que les autres, et probablement accidentelle. Il se trouve qu'au point de la frontière $F - B_2$ d'abscisse $\check{\Delta} = 0{,}55$, $q_{\rm sup}$ est très proche de la position $q = 2k_{\rm min}$ du minimum de $v_f(q)$; de même, au point terminal de cette frontière d'abscisse $\check{\Delta} \simeq 1{,}38$, $\check{q}_{\rm sup} \simeq 2{,}59$ est, ce que nous n'expliquons pas, très proche de la position $\check{q} \simeq 2{,}61$ du minimum de $\check{v}_f(\check{q})$. Aussi les frontières $F - B_2$ et $B_{q_{\rm sup}} - B_0$ se touchent-elles (presque) en leurs extrémités. Dans leur région intermédiaire cependant, $0{,}55 < \check{\Delta} < 1{,}38$, leur écart devient perceptible sur la figure 4a ; le calcul numérique confirme que $q_{\rm sup}$ peut y dévier significativement de la position du minimum de $v_f(q)$, d'au moins 5%, mais ceci conduit somme toute à un faible écart entre $v_b(q_{\rm sup}) = v_f(q_{\rm sup})$ et $\inf_q v_f(q)$ puisque $v_f(q)$ varie seulement au second ordre autour de son minimum.

Ordre des transitions et synthèse : Il reste à préciser quel est l'ordre minimal des différentielles de v_c^L discontinues aux frontières entre les zones B_1, B_2 et F. Aucune frontière n'ayant de portion verticale dans le plan $(\check{\Delta},\alpha)$, nous pouvons nous limiter aux dérivées de v_c^L par rapport à α à $\check{\Delta}$ fixé et tirer ainsi parti, dans chaque zone, de la propriété générale :

$$\frac{\rm d}{{\rm d}\alpha}\check{v}_c^L = \check{q}_0^{\rm abs} \tag{29}$$

où $q_0^{\rm abs}$, fonction de α, est la position du minimum absolu $q_{0,b}$ de $q \mapsto v_b(q)$ ou $q_{0,f}$ de $q \mapsto v_f(q)$, suivant que v_c^L est issue de la branche d'excitation bosonique ou fermionique[9].

9. Lorsque $v_c^L = v^L_{c,f}$, c'est une tautologie de l'équation (19). Lorsque $v_c^L = v^L_{c,b}$, on a soit $0 < q_{0,b} < q_{\rm sup}$, auquel cas $\alpha = F_b(\check{q}_{0,b})$ et il suffit de dériver $\check{v}_b(\check{q}_{0,b}(\alpha))$ par rapport à α dans l'équation (23), soit $q_{0,b} = 0$ ou $q_{\rm sup}$, auquel cas $\check{q}_{0,b}$ est localement constant et le résultat est trivial.

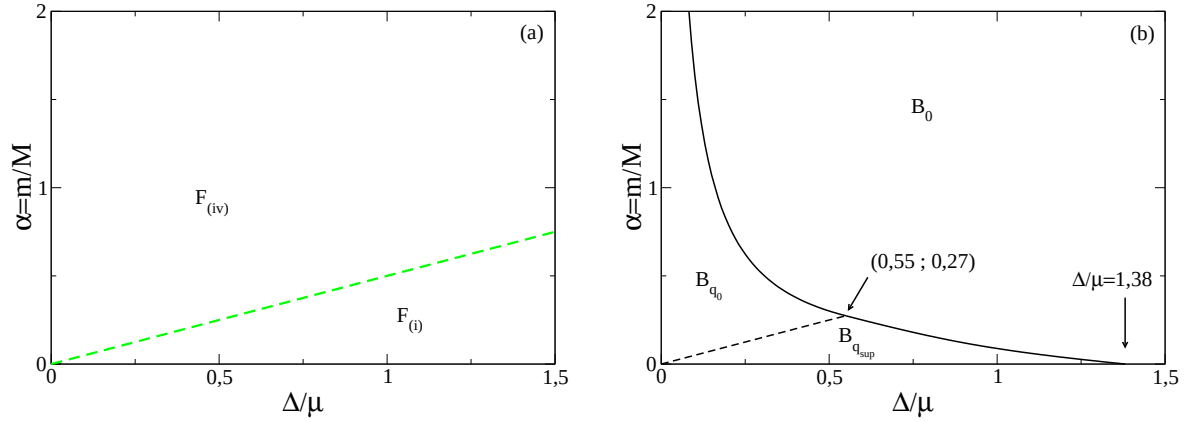

FIGURE 3: Diagramme dans le plan ($\breve{\Delta} = \Delta/\mu, \alpha = m/M$), $\mu > 0$, indiquant (a) pour la branche d'excitation fermionique du superfluide, sur quelle branche de stationnarité de l'équation (12) la vitesse critique $v^L_{c,f}$ est réalisée (avec les notations parlantes $F_{(i)}$ et $F_{(iv)}$), et (b) pour la branche d'excitation bosonique, si la vitesse critique $v^L_{c,b}$ est atteinte en la borne inférieure $q = 0$ (zone B_0), en la borne supérieure $q = q_{\rm sup}$ (zone $B_{q_{\rm sup}}$) ou à l'intérieur de son intervalle d'existence, $q = q_0 \in]0, q_{\rm sup}[$ (zone B_{q_0}). Les lignes en trait plein (en tireté) signalent une transition du premier ordre (du second ordre) sur $v^L_{c,f}$ ou sur $v^L_{c,b}$, c'est-à-dire avec une différentielle première (seconde) discontinue.

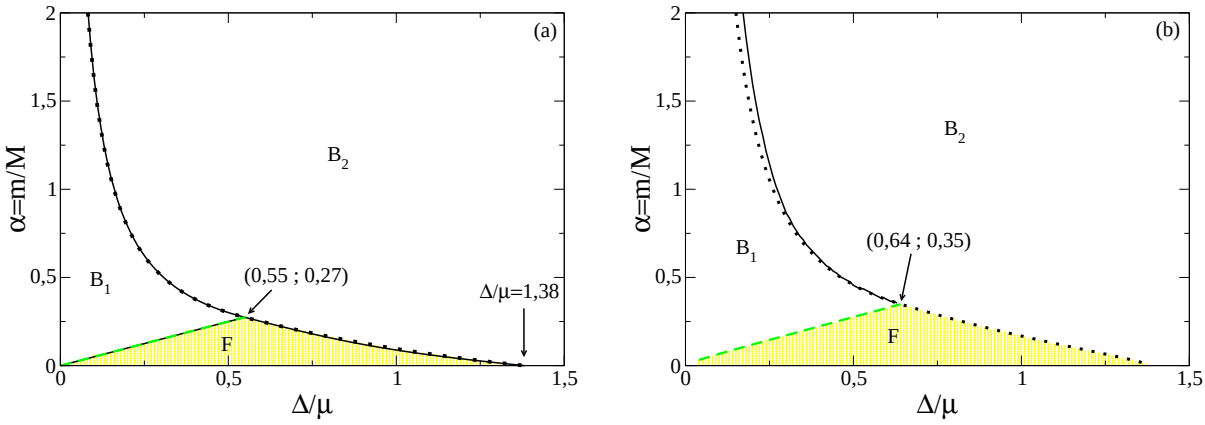

FIGURE 4: (a) Diagramme dans le plan ($\breve{\Delta} = \Delta/\mu, \alpha = m/M$), $\mu > 0$, indiquant dans quelle zone la vitesse critique globale v^L_c de l'impureté de masse M a une origine bosonique (cas $v^L_{c,b} < v^L_{c,f}$, repéré par la lettre B et un fond uni blanc) ou une origine fermionique (cas $v^L_{c,f} < v^L_{c,b}$, repéré par la lettre F et un fond à rayures jaunes). Le domaine bosonique est séparé en deux sous-domaines B_1 et B_2 par la ligne de transition du premier ordre entre les zones B_0 et B_{q_0} [trait plein noir aux abscisses $\breve{\Delta} < 0{,}55$] de la figure 3b. De façon inattendue, la frontière entre B_2 et F est proche de la ligne de transition du premier ordre entre les zones $B_{q_{\rm sup}}$ et B_0 [trait plein noir aux abscisses $\breve{\Delta} > 0{,}55$] de la figure 3b. Autre fait remarquable, la partie non masquée de la ligne de transition du second ordre sur $v^L_{c,f}$ [tireté vert] et la ligne de transition du second ordre entre les zones B_{q_0} et $B_{q_{\rm sup}}$ [tireté noir], qui encadrent la frontière entre B_1 et F, sont en pratique indiscernables ; une étude analytique permet de montrer que les frontières $B_1 - F$ et $B_{q_0} - B_{q_{\rm sup}}$ coïncident en fait exactement, que $v_b(q)$ et $v_f(q)$ y ont conjointement leur minimum en $q = q_{\rm sup}$, et que v^L_c y présente une transition du second ordre. Dernier point notable, la ligne $v^L_{c,f} = c$ [gros pointillé noir] reproduit non seulement exactement la frontière entre B_2 et F, comme il se doit, mais aussi très bien celle entre B_2 et B_1. (b) Généralisation du diagramme précédent au cas d'un superfluide d'impuretés bosoniques en mouvement dans le superfluide de fermions, à rapport fixée $\mu_B/E_F = 0{,}1$ entre le potentiel chimique des bosons dans le référentiel de leur centre de masse et l'énergie de Fermi des fermions. La nouvelle vitesse critique v^L_c présente elle aussi une partition en trois zones, séparées comme précédemment par une discontinuité de sa différentielle seconde (frontière $F - B_1$) ou première (frontières $F - B_2$ et $B_1 - B_2$) : la zone F (à rayures jaunes), où $v^L_c = v^L_{c,f}$, et les zones B_1 et B_2, où $v^L_c = v^L_{c,b}$. La frontière $F - B_1$, sur laquelle $v_b(q)$ et $v_f(q)$ ont leur minimum en $q = q_{\rm sup}$, est très proche de la frontière $F_{(i)} - F_{(iv)}$ à la valeur de μ_B considérée [tireté vert, interrompu lorsqu'il atteint la zone B_2]. La frontière $F - B_2$ est bien donnée exactement par le gros pointillé noir $v^L_{c,f} = c + c_B$, où c (c_B) est la vitesse du son dans le superfluide de fermions (de bosons) au repos, à droite du point triple. La frontière $B_1 - B_2$, qui est simplement la frontière $B_{q_0} - B_0$ à la valeur de μ_B considérée [trait plein noir], dévie au contraire du pointillé lorsqu'on s'éloigne du point triple sur sa gauche.

Une autre propriété remarquable, peut-être même surprenante, est que la branche d'excitation bosonique $q \mapsto \epsilon_b(q)$ est rigoureusement *tangente* au plafond à deux excitations fermioniques $q \mapsto \epsilon_f^{\rm eff}(q)$ au point d'abscisse $q = q_{\rm sup}$ où elle le rejoint [10] :

$$\frac{\mathrm{d}}{\mathrm{d}q}\epsilon_b(q_{\rm sup}) = \frac{\mathrm{d}}{\mathrm{d}q}\epsilon_f^{\rm eff}(q_{\rm sup}), \text{ si bien que } F_b(\check{q}_{\rm sup}) = F_f(\check{q}_{\rm sup}). \tag{30}$$

En revanche, dès que $q < q_{\rm sup}$, l'écart d'énergie (négatif) $\epsilon_b(q) - \epsilon_f^{\rm eff}(q)$ est de dérivée > 0, si bien que $F_b(\check{q}) < F_f(\check{q})$. Ainsi, lorsqu'on est près de la frontière $B_1 - F$, les fonctions $F_b(\check{q})$ et $F_f(\check{q})$ convergent en décroissant vers la *même* limite $F_f(\check{q}_{\rm sup})$ lorsque $q \to q_{\rm sup}^-$, la première fonction restant inférieure à la seconde, qui continue à décroître au-delà de $\check{q}_{\rm sup}$, voir la figure 1c. Par discussion graphique, on montre alors que la frontière $F - B_1$ est atteinte en $\alpha = F_f(\check{q}_{\rm sup})$, avec $q_{0,b} = q_{0,f} = q_{\rm sup}$ et, comme il se doit, $v_b(q_{0,b}) = v_f(q_{0,f})$: d'après (29), v_c^L y présente une transition du second ordre ; on en déduit la coïncidence exacte des frontières $F - B_1$ et $B_{q_0} - B_{q_{\rm sup}}$ et l'égalité des zones dans l'équation (25) [11].

La suite est plus simple. À la frontière $B_1 - B_2$, $q_{0,b}$ saute de la valeur strictement positive $q_0^{\rm min}$ (à droite du maximum de $F_b(\check{q})$, voir la figure 2b) à la valeur nulle, donc v_c^L présente une transition du premier ordre. Il en va de même à la frontière $F - B_2$, où $v_f^{(\rm i)}(q_{0,f}) = c \equiv v_b(q_{0,b} = 0)$ et la position du minimum absolu $q_0^{\rm abs}$ saute de la valeur $q_{0,f} \geq 2k_{\rm min}$ à la valeur nulle.

5. Vitesse relative critique d'un superfluide de bosons et d'un superfluide de fermions

Il est fort probable qu'une vérification expérimentale de la vitesse critique de Landau ici prédite aura lieu pour un grand nombre d'impuretés, plutôt qu'une seule. Comme il est souhaitable d'envoyer dans le superfluide de fermions un ensemble monocinétique d'impuretés, on est naturellement conduit à utiliser un condensat de Bose-Einstein de telles impuretés, avec des interactions en général non négligeables, comme c'est le cas dans la référence [17]. Il faut donc généraliser le raisonnement à la Landau au cas d'un superfluide de bosons en mouvement à la vitesse $\mathbf{v}$ dans le superfluide de fermions.

Le superfluide de bosons est initialement à température nulle dans le référentiel de son centre de masse. L'interaction bosons-fermions de type densité-densité, arbitrairement faible comme il est dit dans la section 1, crée au minimum une excitation élémentaire dans le superfluide de bosons, de quantité de mouvement $\hbar\mathbf{q}$ et d'énergie $\epsilon_{B,\mathbf{q}} + \hbar\mathbf{q}\cdot\mathbf{v}$, $\mathbf{q} \mapsto \epsilon_{B,\mathbf{q}} = \epsilon_B(q)$ étant la relation de dispersion pour un superfluide au repos [12]. De manière concomitante, une paire d'excitations fermioniques de vecteurs d'onde $\mathbf{k}_1$ et $\mathbf{k}_2$ et d'énergie $\epsilon_{f,\mathbf{k}_1} + \epsilon_{f,\mathbf{k}_2}$, avec $\mathbf{q} = -(\mathbf{k}_1 + \mathbf{k}_2)$, ou une excitation bosonique de vecteur d'onde $-\mathbf{q}$ et d'énergie $\epsilon_{b,-\mathbf{q}}$ apparaît dans le superfluide de fermions. Ce processus minimal d'excitation ne peut cependant conserver l'énergie si la vitesse relative v des deux superfluides est inférieure aux

10. Utilisons la note 7 et les expressions explicites des intégrales I_{11}, I_{12} et I_{22} de la référence [13]. Par dérivation de l'équation implicite $f(\omega_b(q), q) = 1$ par rapport à q, nous obtenons $\frac{\mathrm{d}}{\mathrm{d}q}\omega_b(q) = -\partial_q f/\partial_\omega f$. Par dérivation partielle ∂_ω ou ∂_q de chaque intégrale sous le signe somme, nous faisons apparaître dans l'intégrande un facteur $1/[\epsilon_{f,\mathbf{k}+\mathbf{q}/2} + \epsilon_{f,\mathbf{k}-\mathbf{q}/2} - \epsilon_b(q)]^2$, dont l'intégrale tridimensionnelle sur $\mathbf{k}$ a une divergence infrarouge lorsque $q \to q_{\rm sup}^-$ donc lorsque $\epsilon_f^{\rm eff}(q) - \epsilon_b(q) \to 0^+$, puisque $\check{\epsilon}_{f,\mathbf{k}+\mathbf{q}/2} + \check{\epsilon}_{f,\mathbf{k}-\mathbf{q}/2} \underset{\mathbf{k}\to\mathbf{0}}{=} \check{\epsilon}_f^{\rm eff}(\check{q}) + \check{k}^2(\check{q}^2-4)/\check{\epsilon}_f^{\rm eff}(\check{q}) + (\check{\mathbf{k}}\cdot\check{\mathbf{q}})^2\check{\Delta}^2/(\check{\epsilon}_f^{\rm eff}(\check{q})/2)^{3/2} + O(k^4)$. Alors $\partial_{\check{\omega}}\check{I}_{11} = \check{\omega}^2 J + O(1)$, $\partial_{\check{\omega}}\check{I}_{12} = (\check{q}^2-4)J/2 + O(1)$, $\partial_{\check{\omega}}\check{I}_{22} = [\check{\omega}^2 - (2\check{\Delta})^2]J + O(1)$, où les $O(1)$ restent bornés lorsque $(\check{\omega}, \check{q}) \to (\check{\epsilon}_f^{\rm eff}(\check{q}_{\rm sup}), \check{q}_{\rm sup})$ alors que $J = \int \frac{d^3\check{k}}{4\pi}[(\check{\epsilon}_{f,\mathbf{k}+\mathbf{q}/2} + \check{\epsilon}_{f,\mathbf{k}-\mathbf{q}/2} - \check{\omega})\,\check{\epsilon}_f^{\rm eff}(\check{q})]^{-2}$ diverge. De même, $\partial_{\check{q}}\check{I}_{11} = [-\frac{\mathrm{d}}{\mathrm{d}\check{q}}\check{\epsilon}_f^{\rm eff}(\check{q})]\check{\omega}^2 J + O(1)$, $\partial_{\check{q}}\check{I}_{12} = [-\frac{\mathrm{d}}{\mathrm{d}\check{q}}\check{\epsilon}_f^{\rm eff}(\check{q})](\check{q}^2-4)J/2 + O(1)$ et $\partial_{\check{q}}\check{I}_{22} = [-\frac{\mathrm{d}}{\mathrm{d}\check{q}}\check{\epsilon}_f^{\rm eff}(\check{q})][\check{\omega}^2 - (2\check{\Delta})^2]J + O(1)$. Comme $\frac{\check{\omega}^2}{\check{I}_{11}} + \frac{\check{\omega}^2-(2\check{\Delta})^2}{\check{I}_{22}} - \frac{\check{q}^2-4}{\check{I}_{12}}$ ne tend pas vers zéro, on obtient la propriété (30).

11. Si $\alpha < F_b(\check{q}_{\rm sup}) = F_f(\check{q}_{\rm sup})$, le minimum de $v_b(q)$, atteint en $q_{\rm sup}$, est plus grand que celui de $v_f(q)$, atteint en $q_{0,f} > q_{\rm sup}$, puisque $v_f(q_{0,f}) < v_f(q_{\rm sup}) = v_b(q_{\rm sup})$. Si $\alpha > F_f(\check{q}_{\rm sup}) = F_b(\check{q}_{\rm sup})$, le minimum de $v_f(q)$, atteint en $q_{0,f} < q_{\rm sup}$, est plus grand que celui de $v_b(q)$, atteint en $q_{0,b} < q_{\rm sup}$, puisque $v_b(q_{0,b}) < v_b(q_{0,f}) < v_f(q_{0,f})$.

12. Ceci découle des propriétés suivantes de la transformation unitaire $T_t(\mathbf{v})$ représentant la mise en mouvement d'ensemble à la vitesse $\mathbf{v}$, c'est-à-dire le changement de référentiel galiléen à la vitesse $-\mathbf{v}$, $T_t(\mathbf{v}) = \exp[-\mathrm{i}\sum_j t\mathbf{v}\cdot\mathbf{p}_j/\hbar]\exp[\mathrm{i}\sum_j m_B\mathbf{v}\cdot\mathbf{r}_j/\hbar]\exp[\mathrm{i}tN_Bm_Bv^2/2]$, la somme portant sur les N_B bosons, de masse $m_B = M$ et d'opérateurs position $\mathbf{r}_j$ et impulsion $\mathbf{p}_j$: $T_t^\dagger(\mathbf{v})H_BT_t(\mathbf{v}) = H_B + \mathbf{v}\cdot\mathbf{P}_B + N_Bm_Bv^2/2$ et $T_t^\dagger(\mathbf{v})\mathbf{P}_BT_t(\mathbf{v}) = \mathbf{P}_B + N_Bm_B\mathbf{v}$, où H_B est le Hamiltonien des bosons et $\mathbf{P}_B$ leur opérateur quantité de mouvement totale. Il reste alors à comparer les énergies et impulsions de $T_t(\mathbf{v})|\Psi_0\rangle$ et $T_t(\mathbf{v})|\Psi_1^{\mathbf{k}}\rangle$, où les vecteurs d'état $|\Psi_0\rangle$ et $|\Psi_1^{\mathbf{k}}\rangle$ sont ceux du superfluide au repos dans son état fondamental ou en présence d'une excitation élémentaire de vecteur d'onde $\mathbf{k}$.

vitesses critiques de Landau

$$v^L_{c,f} = \inf_{\mathbf{q}} v_f(q) \;\text{ avec }\; v_f(q) = \frac{\epsilon_B(q) + \epsilon^{\rm eff}_f(q)}{\hbar q} \tag{31}$$

$$v^L_{c,b} = \inf_{\mathbf{q}} v_b(q) \;\text{ avec }\; v_b(q) = \frac{\epsilon_B(q) + \epsilon_b(q)}{\hbar q}, \tag{32}$$

c'est-à-dire à v^L_c, la plus petite des deux vitesses. Dans la suite, nous utiliserons la forme de Bogolioubov

$$\epsilon_B(q) = \left[\frac{\hbar^2 q^2}{2M}\left(\frac{\hbar^2 q^2}{2M} + 2\mu_B\right)\right]^{1/2} \tag{33}$$

où μ_B est le potentiel chimique (positif) du superfluide de bosons au repos et M la masse d'un boson. Les expressions précédentes (8) et (21) correspondent, comme il se doit, au cas limite $\mu_B \to 0$.

L'étude de la vitesse critique $v^L_{c,f}$ issue de la branche fermionique peut se faire analytiquement, après adimensionnement comme dans l'équation (16) et en introduisant la largeur $\check{Q}_B$ de $\check{\epsilon}_B(\check{q})/\check{q}$, donnée par

$$\check{Q}_B^2 = \frac{2M}{m}\frac{\mu_B}{|\mu|} = \frac{2\check{\mu}_B}{\alpha} \tag{34}$$

On cherche d'abord les minima locaux, de dérivée nulle :

$$\check{v}_f(\check{q}) = \alpha(\check{q}^2 + \check{Q}_B^2)^{1/2} + \frac{\check{\epsilon}^{\rm eff}_f(\check{q})}{\check{q}}, \;\text{ si bien que }\; \frac{\mathrm{d}}{\mathrm{d}\check{q}}\check{v}_f(\check{q}) = \frac{\alpha\check{q}}{(\check{q}^2 + \check{Q}_B^2)^{1/2}} - F_f(\check{q}) \tag{35}$$

expression dont la racine se trouve sur la branche de stationnarité (iv) [plutôt que sur la branche (i)] si et seulement si la fonction croissante $\check{q} \mapsto \alpha\check{q}/(\check{q}^2 + \check{Q}_B^2)^{1/2}$ atteint la valeur $\check{\Delta}/2$ sur $\check{q} \in [0, 2]$ donc si et seulement si

$$\frac{2\alpha}{(4 + \check{Q}_B^2)^{1/2}} \geq \frac{\check{\Delta}}{2}, \tag{36}$$

comme le montre une discussion graphique à l'aide de la figure 1c. Le plan $(\check{\Delta}, \alpha)$ est donc séparé à nouveau en deux domaines $F_{\rm (i)}$ et $F_{\rm (iv)}$, à la frontière desquels $\check{v}_{c,f}$ présente une transition du second ordre.

L'étude de la vitesse critique $v^L_{c,b}$ issue de la branche bosonique est faite numériquement. On trouve, comme dans le cas à une impureté, une partition du plan $(\check{\Delta}, \alpha)$ en trois domaines B_0, $B_{q_{\rm sup}}$ et B_{q_0}, suivant que le minimum absolu de $v_b(q)$ est atteint au bord inférieur, au bord supérieur ou à l'intérieur de l'intervalle d'existence $[0, q_{\rm sup}]$ de la branche bosonique en question. Les frontières diffèrent peu de celles à une impureté seule, puisqu'on a pris ici un potentiel chimique des bosons petit devant l'énergie de Fermi des fermions. On notera le résultat simple mais important que $v^L_{c,b} = c + c_B$ dans toute la zone B_0, c et c_B étant les vitesses du son dans les superfluides de fermions et de bosons au repos.

Le diagramme dans le plan $(\check{\Delta}, \alpha)$ pour la vitesse critique globale v^L_c est présenté sur la figure 4b et est décrit en détail dans la légende. Les résultats et leur discussion sont d'ailleurs proches du cas à une impureté, voir la section précédente, aussi nous contentons-nous de signaler ici une différence notable : le gros pointillé d'équation $v^L_{c,f} = c + c_B$ ne donne plus une bonne approximation de la frontière $B_1 - B_2$, sauf près du point triple.

6. Conclusion

Nous avons étendu le calcul de la vitesse critique de Landau dans un superfluide de fermions non polarisé au cas où l'objet en mouvement est (a) une impureté de masse *finie* M, puis (b) un superfluide de telles impuretés bosoniques, avec prise en compte des excitations du superfluide de fermions à la BCS par brisure des paires (branche d'excitation fermionique) et à la RPA par leur mise en mouvement (branche d'excitation bosonique) comme dans la référence [13].

Lorsque le potentiel chimique des fermions est négatif, $\mu < 0$, nous trouvons que la vitesse critique est déterminée par la partie phononique de la branche d'excitation bosonique et vaut donc simplement (a) la vitesse du son c dans le superfluide de fermions, puis (b) la somme $c + c_B$, où c_B est la vitesse du son dans le superfluide de bosons au repos.

Lorsque le potentiel chimique des fermions est positif, $\mu > 0$, ces résultats ne valent que dans une certaine zone B_2 du plan $(\Delta/\mu, m/M)$, où Δ et m sont le gap et la masse d'une particule du superfluide de fermions. Pour (a) aussi bien que pour (b), au moins dans le régime d'un potentiel chimique μ_B des bosons au repos petit devant l'énergie de Fermi des fermions, il existe alors deux autres zones, une zone B_1 où la vitesse critique est déterminée par la partie intermédiaire, non phononique, de la branche d'excitation bosonique et une zone F où la vitesse critique vaut celle $v^L_{c,f}$ associée à la branche d'excitation fermionique. La vitesse critique a une différentielle seconde discontinue à la frontière $F - B_1$, et une différentielle première discontinue en $F - B_2$ et en $B_1 - B_2$, les trois frontières étant concourantes en un point triple. La frontière $F - B_2$ s'obtient, de manière exacte, en résolvant l'équation $v^L_{c,f} = c$ [cas (a)] ou $v^L_{c,f} = c + c_B$ [cas (b)]. La frontière $B_1 - B_2$ est, de même, exactement sur la ligne d'égalité entre les vitesses critiques issues des parties phononique et intermédiaire de la branche d'excitation bosonique ; dans le cas (a), on l'obtient avec une bonne approximation en résolvant l'équation plus simple $v^L_{c,f} = c$, parce que la vitesse critique dans B_1 est en réalité proche de $v^L_{c,f}$; dans le cas (b), cette approximation est nettement moins bonne, sauf près du point triple. Finalement, la frontière $F - B_1$ est exactement sur la ligne $v^L_{c,f} = v_f(q_{\text{sup}})$, c'est-à-dire que la fonction $v_f(q)$ y est minimale en le nombre d'onde maximal q_{sup} de la branche d'excitation bosonique, et peut être identifiée, avec une bonne approximation dans les deux cas (a) et (b), à une portion de la ligne de discontinuité de la différentielle seconde de $v^L_{c,f}$, donnée par l'équation $m/M = \Delta/(2\mu)$ pour le cas (a), et par l'égalité dans l'inégalité (36) pour le cas (b).

Ces prédictions pourraient être vérifiées expérimentalement avec le mélange de superfluides des isotopes bosonique ^{7}Li et fermionique ^{6}Li du lithium récemment préparé à l'ENS [17]. Ainsi, la transition du premier ordre à la frontière $B_1 - B_2$ prédite ici pourrait être révélée en faisant varier la longueur de diffusion entre fermions de spins opposés, donc $\check{\Delta}$, grâce à une résonance de Feshbach, et en mesurant la vitesse critique correspondante ; on devrait alors observer une rupture de pente dans la vitesse critique en fonction de la force des interactions, au passage de la ligne $B_1 - B_2$. En revanche, la valeur du rapport de masse $m/M \simeq 6/7$, imposée, ne permet pas de franchir les autres frontières.

Il serait envisageable de prolonger la présente étude théorique à ce qui a été directement mesuré dans la référence [17], à savoir le taux d'amortissement des oscillations du superfluide de bosons dans le superfluide de fermions harmoniquement piégé, en prenant en compte d'éventuels effets de température non nulle. Il faudrait aussi voir si l'interaction entre fermions et bosons est suffisamment faible pour qu'on puisse restreindre l'analyse, comme le fit Landau et comme ce fut fait ici, au nombre *minimal* possible d'excitations élémentaires, et obtenir la même barrière d'énergie (empêchant l'amortissement du mouvement des impuretés dans le superfluide de fermions) que dans l'expérience. Toutes questions que nous espérons inspiratrices de travaux ultérieurs, aussi bien théoriques qu'expérimentaux.

Remerciements

Notre équipe, également affiliée à l'IFRAF, remercie pour son soutien financier le DIM Nano-K (projet ATOMIX) et l'Institut de France (prix Louis D.). Nous remercions les membres de l'équipe « fermions froids » ainsi que Claude Cohen-Tannoudji, Franck Laloë et Xavier Leyronas pour d'utiles discussions.

Références

[1] M. Inguscio, W. Ketterle, C. Salomon, « Ultracold Fermi gases » (Società italiana di fisica, Bologne, Italie, 2007) ; S. Giorgini, L.P. Pitaevskii, S. Stringari, « Theory of ultracold atomic Fermi gases », Rev. Mod. Phys. **80**, 1215 (2008) ; W. Zwerger, « The BCS-BEC crossover and the unitary Fermi gas » (Springer, Berlin, 2012).

[2] A.J. Leggett, « Quantum liquids », section 2.4 (Oxford University Press, Oxford, 2006).

[3] I. Carusotto, Y. Castin, « Atom interferometric detection of the pairing order parameter in a Fermi gas », Phys. Rev. Lett. **94**, 223202 (2005).

[4] M. Zwierlein, C. Stan, C. Schunck, S. Raupach, A. Kerman, W. Ketterle, « Condensation of pairs of fermionic atoms near a Feshbach resonance », Phys. Rev. Lett. **92**, 120403 (2004) ; S. Jochim, M. Bartenstein, A. Altmeyer, G. Hendl, Cheng Chin, J. Hecker Denschlag, R. Grimm, « Pure gas of optically trapped molecules created from fermionic atoms », Phys. Rev. Lett. **91**, 240402 (2003).

[5] M. Zwierlein, J.R. Abo-Shaeer, A. Schirotzek, C.H. Schunck, W. Ketterle, « Vortices and superfluidity in a strongly interacting Fermi gas », Nature **435**, 1047 (2005).

[6] I. Carusotto, Y. Castin, « Superfluidity of the 1D Bose gas », C. R. Physique **5**, 107 (2004).
[7] L.A. Sidorenkov, Meng Khoon Tey, R. Grimm, Yan-Hua Hou, L. Pitaevskii, S. Stringari, « Second sound and the superfluid fraction in a Fermi gas with resonant interactions », Nature **498**, 78 (2013).
[8] S. Nascimbène, N. Navon, K.J. Jiang, F. Chevy, C. Salomon, « Exploring the thermodynamics of a universal Fermi gas », Nature **463**, 1057 (2010) ; Mark J.H. Ku, A.T. Sommer, Lawrence W. Cheuk, M. Zwierlein, « Revealing the superfluid lambda transition in the universal thermodynamics of a unitary Fermi gas », Science **335**, 563 (2012).
[9] D. Miller, J. Chin, C. Stan, Y. Liu, W. Setiawan, C. Sanner, W. Ketterle, « Critical velocity for superfluid flow across the BEC-BCS crossover », Phys. Rev. Lett. **99**, 070402 (2007).
[10] T. Frisch, Y. Pomeau, S. Rica, « Transition to dissipation in a model of superflow », Phys. Rev. Lett. **69**, 1644 (1992).
[11] L. Landau, « The theory of superfluidity of helium II », J. Phys. (URSS) **5**, 71 (1941).
[12] G.E. Astrakharchik, L.P. Pitaevskii, « Motion of a heavy impurity through a Bose-Einstein condensate », Phys. Rev. A **70**, 013608 (2004).
[13] R. Combescot, M. Yu. Kagan, S. Stringari, « Collective mode of homogeneous superfluid Fermi gases in the BEC-BCS crossover », Phys. Rev. A **74**, 042717 (2006).
[14] B. Svistunov, E. Babaev, N. Prokof'ev, « Superfluid states of matter », chapitre 1, p. 42 (CRC Press, Londres, 2014).
[15] O. Lychkovskiy, « Perpetual motion and backscattering oscillations of a mobile impurity in a quantum fluid », arXiv :1403.7408v2.
[16] A.P. Chikkatur, A. Görlitz, D.M. Stamper-Kurn, S. Inouye, S. Gupta, W. Ketterle, « Suppression and enhancement of impurity scattering in a Bose-Einstein condensate », Phys. Rev. Lett. **85**, 483 (2000).
[17] I. Ferrier-Barbut, M. Delehaye, S. Laurent, A.T. Grier, M. Pierce, B.S. Rem, F. Chevy, C. Salomon, « A mixture of Bose and Fermi superfluids », Science **345**, 1035 (2014).
[18] A. Minguzzi, G. Ferrari, Y. Castin, « Dynamic structure factor of a superfluid Fermi gas », Eur. Phys. J. D **17**, 49 (2001).
[19] P.W. Anderson, « Random-phase approximation in the theory of superconductivity », Phys. Rev. **112**, 1900 (1958).
[20] A. Altmeyer, S. Riedl, C. Kohstall, M.J. Wright, R. Geursen, M. Bartenstein, C. Chin, J. Hecker Denschlag, R. Grimm, « Precision measurements of collective oscillations in the BEC-BCS crossover », Phys. Rev. Lett. **98**, 040401 (2007).